



## รายงานวิจัยฉบับสมบูรณ์

เรื่อง

การระบุเอกลักษณ์องค์ประกอบความถี่อัลตราซาวด์อนิกสำหรับภาพอัลตราซาวด์  
แบบไม่เป็นเชิงเส้นโดยการใช้แบบจำลองอนุกรมโวลเทอร่า

Ultraharmonic Frequency Component Identification for Nonlinear  
Ultrasound Imaging using Volterra Series Model

ดร. จันดา สามัคคี และคณะ

สาขาวิศวกรรมไฟฟ้า คณะวิศวกรรมศาสตร์  
มหาวิทยาลัยเทคโนโลยีราชมงคลครีวิชัย

ได้รับการสนับสนุนทุนวิจัยจากมหาวิทยาลัยเทคโนโลยีราชมงคลครีวิชัย  
งบประมาณเงินงบประมาณแผ่นดิน ประจำปี พ.ศ. 2559



มหาวิทยาลัยเทคโนโลยีราชมงคลรัตนโกสินทร์

หัวข้อวิจัย	ระบบเอกลักษณ์องค์ประกอบความถืออัลตราไฮาร์มอนิกสำหรับภาพอัลตราชาร์ดแบบไม่เป็นเส้นโดยการใช้แบบจำลองอนุกรมโอลเทโรรา
ผู้วิจัย	ดร. จินดา สามัคคี พศ. สัญญา ผาสุก และ ดร. ขยายนิษฐ์ บุญสนิท
หน่วยงาน	คณะวิศวกรรมศาสตร์ มหาวิทยาลัยเทคโนโลยีราชมงคลครีวิชัย
ปีงบประมาณ	2559

### บทคัดย่อ

การดำเนินองค์ประกอบความถืออัลตราไฮาร์มอนิกจากการอัลตราชาร์ดแบบใช้สารเพิ่มความคมชัดมีศักยภาพสำหรับใช้ในการปรับปรุงความคมชัดของภาพอัลตราชาร์ดสำหรับการตรวจวินิจโรคทางการแพทย์และเพื่อใช้แทนข้อจำกัดของภาพไฮาร์มอนิกที่สอง การสร้างภาพอัลตราชาร์ดจากความถือที่แตกต่างกันของสัญญาณจากสารเพิ่มความคมชัดสามารถใช้แบบจำลองไม่เป็นเส้น โอลเทโรราแบบหนึ่งอินพุทนึงเอาท์พุทแยกความถือได้ ปัญหาที่สำคัญประการหนึ่งของแบบจำลองนี้คือข้อจำกัดต่อการสร้างตัวแบบองค์ประกอบอัลตราไฮาร์มอนิก การจำจัดปัญหานี้มีการเสนอให้แบบจำลองโอลเทโรราแบบหลายอินพุทนึงเอาท์พุท วิธีนี้สามารถใช้ได้เฉพาะสร้างตัวแบบแต่ไม่สามารถแยกความถือได้ งานวิจัยนี้นำเสนอวิธีสำหรับสร้างตัวแบบองค์ประกอบอัลตราไฮาร์มอนิกโดยการรับต้นความถือครึ่งหนึ่งของสัญญาณอินพุทแบบจำลองโอลเทโรราแบบหนึ่งอินพุทนึงเอาท์พุท ผลการจำลองแบบจากการประยุกต์ใช้เทคนิคนี้แบบจำลองโอลเทโรรานามารถสร้างตัวแบบองค์ประกอบอัลตราไฮาร์มอนิกได้ จากการพิจารณาผลตอบสนองเชิงความถือค่าเอกลักษณ์แบบจำลองด้วยวิธีนี้เพื่อประยุกต์ใช้สำหรับการแยกอัลตราไฮาร์มอนิก พบร่วมกับความสามารถแยกอัลตราไฮาร์มอนิกออกจากความถือมูลฐานและความถือไฮาร์มอนิกที่สองได้ แต่อย่างไรก็ตามสำหรับความถือซับไฮาร์มอนิกไม่สามารถจำจัดได้อย่างเด็ดขาด



<b>Thesis Research</b>	Ultraharmonic Frequency Component Identification for Nonlinear Ultrasound Imaging using Volterra Series Model
<b>Author</b>	Dr. Chinda Samakee Asst. Prof. Sunya Pasuk and Dr. Chayanit Bunsanit
<b>Major Program</b>	Electrical Engineering
<b>Academic Year</b>	2017

### **Abstract**

The generating ultraharmonic frequency component from ultrasound contrast agents have the potential for use in improving contrast resolution of ultrasound imaging in medical diagnosis, and for overcome the limitations of second-harmonic imaging. The creation of ultrasound imaging from different frequency of contrast agents signals can be used nonlinear single-input single-output (SISO) Volterra model in separating frequency. One important problem of this model is limitation to model ultraharmonic component. The overcome of this problem has been a presentation method used multiple-input single-output (MISO) Volterra model. This method can use model only but it cannot separate frequencies. This research presents a method to model ultraharmonic component by the excitation of half-frequency of input signal in SISO Volterra model. Results of application of this method can model ultraharmonic component. From discussion of system identification frequency response by the method for applying ultraharmonic separation, it appears that can be separated ultraharmonic from fundamental and second-harmonic frequencies. However, for subharmonic cannot be completely overcome by the identification.



## กิตติกรรมประกาศ

ขอขอบพระคุณ รองศาสตราจารย์ ดร. พrushy พฤกษ์ภัทรานนท์ ที่ได้กรุณาให้คำแนะนำทำที่เป็นประโยชน์ต่องานวิจัยและการช่วยเหลือให้การสนับสนุนในด้านต่างๆเป็นอย่างดี ในการแก้ปัญหาตลอดจนงานดำเนินไปอย่างสมบูรณ์

ขอขอบพระคุณ ดร. อุดมชัย เตชะวิจัย นักวิจัย ศูนย์เทคโนโลยีอิเล็กทรอนิกส์และคอมพิวเตอร์แห่งชาติ ที่กรุณาให้การสนับสนุนทั้งแนะนำข้อมูลทั่วไปเกี่ยวกับ การประมวลผล และการสร้างภาพทางการแพทย์

ขอขอบพระคุณ คุณสุปรีดา บุญช่วยแทน ที่ได้ช่วยเหลือให้การแนะนำการทำเรียนงานทางด้านเอกสารในการทำวิจัยเรื่องนี้ ในด้านต่างๆที่สำคัญจนสำเร็จลุล่วง และขอขอบคุณเจ้าหน้าที่ทุกท่านที่เกี่ยวข้องสำหรับการช่วยเหลือดำเนินงานวิจัย

ขอขอบพระคุณ คณะวิศวกรรมศาสตร์ มหาวิทยาลัยเทคโนโลยีราชมงคลศรีวิชัย วิทยาเขตสงขลา ที่ให้การสนับสนุนทุนในการทำวิจัย

จินดา สามัคคี และคณะ



ព្រះរាជាណាចក្រកម្ពុជា

## สารบัญ

	หน้า
บทคัดย่อ.....	(1)
Abstract.....	(2)
กิตติกรรมประกาศ.....	(3)
สารบัญ.....	(4)
สารบัญตาราง.....	(6)
สารบัญภาพประกอบ.....	(7)
ทั่วไปและสัญลักษณ์.....	(8)

## บทที่

1. บทนำ.....	1
1.1 ความสำคัญและที่มาของหัวข้อวิจัย.....	1
1.2 การตรวจเอกสาร.....	3
1.3 วัตถุประสงค์.....	5
1.4 ขอบเขตของการวิจัย.....	6
1.5 ขั้นตอนและวิธีการวิจัย.....	6
1.6 ประโยชน์ที่คาดว่าจะได้รับ.....	6
2. การจัดเตรียมเครื่องมือ.....	8
2.1 ระบบสัญญาณสะท้อนคลื่นอัลตราซาวด์.....	8
2.2 ระบบแบบจำลองโอลเทอรา.....	9
2.3 ระบบการสร้างตัวแบบองค์ประกอบความถี่อัลตราซาร์มอนิกด้วยแบบจำลอง โอลเทอรา.....	10
2.4 สรุป.....	11
3. วิธีการจำลองและสร้างตัวแบบ.....	13
3.1 วิธีการจำลองแบบสัญญาณสะท้อนคลื่นอัลตราซาวด์.....	13
3.2 การสร้างตัวแบบสัญญาณคลื่นอัลตราซาวด์ด้วยแบบจำลองโอลเทอรา.....	14
3.3 การระบุค่าเอกลักษณ์ของระบบ.....	15
3.4 สรุป.....	18
4. ผลการจำลอง.....	19



## สารบัญ (ต่อ)

บทที่	หน้า
4.1 การจำลองแบบและสร้างตัวแบบสัญญาณสะท้อนคลื่นอัลตราซาวด์.....	18
4.2 การทดสอบความคงทนต่อสัญญาณรบกวนของระบบแบบจำลองโวลเทอรา.....	22
4.3 ผลตอบสนองเชิงความถี่ของค่าเอกลักษณ์.....	30
4.4 สรุป.....	32
5. การวิเคราะห์ผลตอบสนองความถี่ของฟังก์ชันการถ่ายโอนในแบบจำลองโวลเทอราสำหรับ สร้างตัวแบบองค์ประกอบอัลตราซาร์มอนิก.....	34
5.1 แบบจำลองโวลเทอราและการแยกองค์ประกอบอัลตราซาร์มอนิก.....	34
5.2 ผลการจำลองและวิเคราะห์ผล.....	36
5.3 สรุป.....	38
6. สรุปผลและข้อเสนอแนะ.....	39
5.1 บทสรุป.....	39
5.2 ข้อเสนอแนะ.....	40
บรรณานุกรม.....	41
ภาคผนวก.....	44
ภาคผนวก ก. บทความที่เผยแพร่.....	45



## สารบัญตาราง

ตาราง	หน้า
3-1 ค่าพารามิเตอร์ต่างๆของสารเพิ่มความคมชัด.....	11
4-1 ค่า NMSE ของการประมาณค่าโดยแบบจำลองโวลเทอราอันดับสาม ที่ระดับ SNR แตกต่างกัน.....	23





## สารบัญภาพประกอบ

ภาพประกอบ	หน้า
2-1 ระบบสัญญาณสะท้อนคลื่นอัลตราชาวด์โดยการใช้แบบจำลองสมการ Church .....	9
2-2 ระบบการจำลองแบบและสร้างตัวแบบสะท้อนคลื่นอัลตราชาวด์โดยการใช้แบบจำลองโวลเทอรา.....	11
3-1 การระบุค่าเอกลักษณ์ของสัญญาณสะท้อนคลื่นอัลตราชาวด์ด้วยแบบจำลองอนุกรม โวลเทอราอันดับสาม.....	17
4-2 ผลตอบสนองเชิงเวลาของสัญญาณสะท้อนคลื่นอัลตราชาวด์.....	21
4-3 ผลตอบสนองความถี่ของสัญญาณสะท้อนคลื่นอัลตราชาวด์.....	21
4-4 ผลตอบสนองจากแบบจำลองที่ระดับ $SNR = 50 \text{ dB}$ (a) โดเมนเวลา (b) โดเมนความถี่.....	24
4-5 ผลตอบสนองจากแบบจำลองที่ระดับ $SNR = 40 \text{ dB}$ (a) โดเมนเวลา (b) โดเมนความถี่....	25
4-6 ผลตอบสนองจากแบบจำลองที่ระดับ $SNR = 30 \text{ dB}$ (a) โดเมนเวลา (b) โดเมนความถี่....	26
4-7 ผลตอบสนองจากแบบจำลองที่ระดับ $SNR = 20 \text{ dB}$ (a) โดเมนเวลา (b) โดเมนความถี่....	27
4-8 ผลตอบสนองจากแบบจำลองที่ระดับ $SNR = 10 \text{ dB}$ (a) โดเมนเวลา (b) โดเมนความถี่....	28
4-9 ผลตอบสนองจากแบบจำลองที่ระดับ $SNR = 5 \text{ dB}$ (a) โดเมนเวลา (b) โดเมนความถี่.....	29
4-10 ผลตอบสนองเชิงความถี่ของค่าเอกลักษณ์อันดับที่หนึ่ง ( $H_1$ ).....	31
4-11 ผลตอบสนองเชิงความถี่ของค่าเอกลักษณ์อันดับที่สอง ( $H_2$ ).....	31
4-12 ผลตอบสนองเชิงความถี่ของค่าเอกลักษณ์อันดับที่สาม ( $H_3$ ).....	32
5-1 การแยกองค์ประกอบความถี่สัญญาณสะท้อนคลื่นอัลตราชาวด์ด้วยค่าเอกลักษณ์อันดับที่ สามสำหรับองค์ประกอบอัลตราหาร์มอนิก.....	35
5-2 สเปกตรัมสัญญาณสะท้อนคลื่นอัลตราชาวด์จากสมการ Church และสมการโวลเทอรา.....	36
5-3 ผลตอบสนองความถี่ฟังก์ชันการถ่ายโอนในระบบแบบจำลองโวลเทอราอันดับสาม.....	37



## ព័ត៌មាននូវការបង្កើត

CTR	=	Contrast-to-tissue ratio
MIMO	=	Multiple-input multiple-output
MISO	=	Multiple-input single-output
SISO	=	Single-input single-output
UCA	=	Ultrasound contrast agents
SVD	=	Singular value decomposition
NMSE	=	Normalized mean square error
SNR	=	Signal-to-noise-ratio



## บทที่ 1

### บทนำ

#### 1.1 ความสำคัญและที่มาของหัวข้อวิจัย

ในการตรวจวินิจฉัยโรคในทางการแพทย์ด้วยภาพอัลตราซาวด์ วิธีการคือแพทย์จะใช้ตัวส่งสัญญาณหรือกันที่เรียกว่า probe ซึ่งเป็นตัวทำหน้าที่กำเนิดคลื่นเสียงความถี่สูง (Ultrasound) ส่งไปยังบริเวณอวัยวะเป้าหมายที่ต้องการตรวจวินิจฉัยโรค เมื่อคลื่นเสียงความถี่สูงที่ถูกส่งไปยังเป้าหมายจะมีการสะท้อนสัญญาณกลับ โดยตัวprobe ก็ทำหน้าที่เป็นตัวรับสะท้อนสัญญาณกลับจากคลื่นเสียงความถี่สูงด้วยเช่นกัน สัญญาณสะท้อนกลับที่ได้รับจะถูกเก็บบันทึกไว้ในหน่วยความจำ และแสดงผลภาพอุกมាបนหน้าจอคอมพิวเตอร์ ภาพอัลตราซาวด์ที่ได้ด้วยวิธีการดังกล่าวถือเป็นวิธีปกติ นิยมเรียกว่าภาพ B-mode หรือภาพอัลตราซาวด์แบบเชิงเส้น (Linear ultrasound imaging) ซึ่งภาพดังกล่าวสร้างจากสัญญาณสะท้อนกลับคลื่นเสียงความถี่สูง (Ultrasound echo signals) ด้วยเทคนิคการประมวลผลสัญญาณดิจิตอล แต่อย่างไรก็ตาม ความคมชัดของภาพ B-mode ที่ได้รับจาก การอัลตราซาวด์ในบางส่วนของอวัยวะไม่ดีเท่าที่ควร ทั้งนี้สาเหตุเนื่องด้วยสัญญาณสะท้อนคลื่นเสียงความถี่สูงในบริเวณดังกล่าวมีค่าน้อยกว่าสัญญาณสะท้อนจากบริเวณเนื้อเยื่อที่อยู่โดยรอบมาก นอกจากนี้ยังมีปัจจัยอื่นๆ เช่น การเคลื่อนไหวของเนื้อเยื่อที่อยู่บริเวณข้างเคียงลดทอนสัญญาณสะท้อนของเนื้อเยื่อที่แทรกอยู่และอัตราการไฟฟ้าของเลือดที่มีค่าต่ำมากๆ โดยเฉพาะบริเวณเส้นเอือดฝอย

การแก้ปัญหาดังที่ได้กล่าวไว้แล้วนั้น ปัจจุบันได้มีการใช้สารเพิ่มความคมชัดสำหรับอัลตราซาวด์ (Ultrasound contrast agent) เพื่อเพิ่มประสิทธิภาพสัญญาณสะท้อนกลับจากคลื่นเสียงความถี่สูงของบริเวณอวัยวะที่ต้องการตรวจวินิจฉัยโรคและการใช้เทคนิคการประมวลผลสัญญาณภาพปรับปรุงความคมชัดของภาพจากอัลตราซาวด์ สารเพิ่มความคมชัดสำหรับอัลตราซาวด์เป็นสารที่มีขนาดเล็ก เส้นผ่าศูนย์กลางน้อยกว่า  $10 \mu\text{m}$  มีลักษณะโครงสร้างภายในออกเป็นฟองอากาศอิสระ และฟองอากาศที่มีเปลือกห่อหุ้ม [1] การใช้สารเพิ่มความคมชัดวิธีการคือการฉีดเข้าไปภายในในระบบการไหลเวียนของเลือดในร่างกาย ผลกระทบจากการที่ฉีดสารเพิ่มความคมชัดดังกล่าว เมื่อทำการส่งสัญญาณจากตัวprobe ไปยังบริเวณอวัยวะเป้าหมายที่มีสารเพิ่มความคมชัด คุณลักษณะทางความถี่ของสัญญาณสะท้อนกลับจากบริเวณดังกล่าวจะแตกต่างจากบริเวณเนื้อเยื่อโดยรอบ นั้นคือประกอบด้วยองค์ประกอบของความถี่มูลฐาน (Fundamental frequency:  $f_0$ ) ความถี่ที่มีค่าเป็นหนึ่ง



เท่าของความถี่มูลฐาน (Higher-multiple frequencies:  $2f_0, 3f_0, \dots$ ), ความถี่ซับยาร์มอนิก (Subharmonic frequencies:  $f_0/2, f_0/3, \dots$ ) และความถี่อัลตรายาร์มอนิกหรือซูปเปอร์ยาร์มอนิก (Ultraharmonic frequencies:  $3f_0/2, 5f_0/2, \dots$ ) [2] ในขณะที่บริเวณเนื้อเยื่อสัญญาณสะท้อนกลับแต่เฉพาะองค์ประกอบของความถี่มูลฐาน ( $f_0$ ) และความถี่ยาร์มอนิก ( $2f_0, 3f_0, \dots$ ) [3] ปัจจุบันมีรายงานวิจัยการใช้สารเพิ่มความคมชัดเพื่อปรับปรุงประสิทธิภาพการวินิจฉัยโรคหล่ายด้าน เช่น ประเมินผลของโรคมะเร็งในตับ ตรวจสอบเนื้อเยื่อแพลง巴ดเจ็บในช่องท้อง, ตับ, ม้าม และไต เป็นต้น [4] ภาพอัลตรายาร์ด์ที่ได้จากการใช้สารเพิ่มความคมชัด

ในการปรับปรุงความคมชัดของภาพอัลตรายาร์ดจะใช้ประโยชน์จากความแตกต่างขององค์ประกอบความถี่สะท้อนกลับจากบริเวณที่มีสารเพิ่มความคมชัดและจากบริเวณเนื้อเยื่อ ซึ่งจะต้องใช้เทคนิคการประมวลสัญญาณดิจิตอล (Digital signal processing) ในการแยกองค์ประกอบตามที่ของสัญญาณสะท้อนกลับจากสารเพิ่มความคมชัดออกจากโครงสร้างภาพอัลตรายาร์ด [5] ภาพอัลตรายาร์ดด้วยวิธีการใช้สารเพิ่มความคมชัดอาจเรียกว่าภาพอัลตรายาร์ดแบบไม่เป็นเชิงเส้น (Nonlinear ultrasound imaging) ซึ่งการประมวลสัญญาณดิจิตอลนี้เป็นปัจจัยสำคัญ นั้นคือความสามารถที่จะแยกองค์ประกอบความถี่ออกมากในวัดเชิงปริมาณของอัตราส่วนของกำลังเฉลี่ยบริเวณที่มีสารเพิ่มความคมชัดต่อกำลังเฉลี่ยบริเวณเนื้อเยื่อ (Contrast-to-tissue ratio: CTR) ซึ่งถ้าแยกออกมากในปริมาณที่สูงทำให้คุณภาพของภาพอัลตรายาร์ดที่ได้รับมีความคมชัดที่ดี จากการตรวจสอบเทคนิคการสร้างภาพในช่วงที่ผ่านมา มี 3 เทคนิคหนึ่งคือ ตัวกรองความถี่แบบผ่าน (Bandpass filter) พัลส์อินเวอร์ชัน (Pulse inversion) และตัวกรองโวลเทอรา (Volterra filter) ในช่วงหลายปีที่ผ่านมา ความถี่จากองค์ประกอบยาร์มอนิกที่สอง ( $2f_0$ ) ถูกแยกออกมาใช้เป็นส่วนใหญ่ในการปรับปรุงคุณภาพของภาพอัลตรายาร์ดด้วยเทคนิคการประมวลสัญญาณดิจิตอลทั้ง 3 เทคนิคดังกล่าว ซึ่งภาพที่ได้รับมีคุณภาพดีกว่าเทียบกับภาพ B-mode ซึ่งทั้ง 3 เทคนิคนี้พอบว่าการใช้ตัวกรองโวลเทอราสามารถที่จะแยกได้รับปริมาณ CTR ขององค์ประกอบความถี่ที่ต้องการออกมากสร้างภาพสูง ได้ภาพที่มีความคมชัดดีกว่าเมื่อเทียบกับคือ ตัวกรองความถี่แบบผ่านและพัลส์อินเวอร์ชัน [6] อย่างไรก็ตาม ถึงแม้ว่าตัวกรองโวลเทอราจะมีความสามารถในการแยกปริมาณ CTR ที่สูง แต่คุณลักษณะของตัวกรองยังคงใช้ได้แต่เฉพาะกับองค์ประกอบความถี่  $2f_0$  เท่านั้น และในช่วงไม่กี่ปีที่ผ่านมานี้องค์ประกอบซับยาร์มอนิก ( $f_0/2$ ) เริ่มมีรายงานวิจัยการตรวจสอบสำหรับประยุกต์ใช้สร้างภาพอัลตรายาร์ดด้วยข้อดีคือ กำเนิดเฉพาะในบริเวณที่มีสารเพิ่มความคมชัดเท่านั้น แต่ไม่กำเนิดในบริเวณเนื้อเยื่อซึ่งแตกต่างจากองค์ประกอบความถี่  $2f_0$  ที่ให้กำเนิดในบริเวณเนื้อเยื่อด้วย ซึ่งหมายถึงจะทำให้ภาพที่ได้รับจากองค์ประกอบซับยาร์มอนิกที่  $f_0/2$  จะมีค่า CTR ดีกว่าเทียบกับภาพที่ได้รับจากความถี่  $2f_0$  และ B-mode ดังนั้นด้วยข้อดีของตัวกรองโวลเทอรา จึงได้มีการศึกษาตรวจสอบสำหรับใช้ในการแยกองค์ประกอบความถี่  $f_0/2$  [7] อย่างไรก็ตาม ยังมีอีกหนึ่งองค์ประกอบความถี่ที่น่าสนใจนั่นคือ



องค์ประกอบความถี่อัลตราซาร์มอนิก ( $3f_0/2$ ) ด้วยข้อดีคือการกำเนิดเฉพาะบริเวณที่มีสารแต่ไม่กำเนิดในบริเวณเนื้อเยื่อ เช่นเดียวกับความถี่  $f_0/2$  แต่มีข้อที่ดีกว่าคือการกำเนิดความถี่ที่  $3f_0/2$  ต้องใช้การกระตุนคลื่นความถี่จากตัวส่งที่สูง ซึ่งผลการใช้ความถี่สูงทำให้ภาพมีความคมชัดที่ดีกว่าเมื่อเทียบกับห้องความถี่ที่  $2f_0$  และ  $f_0/2$  ในปัจจุบันเป็นช่วงเริ่มต้นรายงานวิจัยศึกษาศักยภาพการกำเนิดความถี่ที่  $3f_0/2$  สำหรับการใช้สร้างภาพอัลตราชาวด์ในทางการแพทย์ [8, 9] และจากการทบทวนรายงานวิจัยพบว่า งานวิจัยทางด้านเทคนิคการประมวลสัญญาณดิจิตอลสำหรับแยกองค์ประกอบความถี่อัลตราซาร์มอนิกที่  $3f_0/2$  ยังไม่มีรายงานผลการศึกษาทางด้านเทคนิคการปรับปรุงคุณภาพภาพอัลตราชาวด์กับความความถี่ดังกล่าว

เพื่อเป็นการเพิ่มศักยภาพและเพิ่มอีกหนึ่งทางเลือกสำหรับปรุงคุณภาพของภาพอัลตราชาวด์ในการวินิจฉัยโรค ในโครงการวินิจฉัยฉบับนี้จะนำข้อเด่นของห้องสองปัจจัยหลักในการปรับปรุงคุณภาพของภาพอัลตราชาวด์ นั้นคือองค์ประกอบความถี่ของสัญญาณสะท้อนกลับและเทคนิคการประมวลสัญญาณดิจิตอล โดยจะเลือกใช่องค์ประกอบความถี่อัลตราซาร์มอนิกที่ความถี่  $3f_0/2$  และเทคนิคตัวกรองโวลเทอราในการแยกสัญญาณ แต่อย่างไรก็ตาม การใช้ตัวกรองโวลเทอราในการแยกสัญญาณขององค์ประกอบความถี่ใดนั้นจะต้องทำการสร้างตัวแบบ (Model) ของสัญญาณนั้นก่อน ซึ่งคุณสมบัติของตัวกรองโวลเทอราไม่สามารถที่สร้างตัวแบบผลตอบสนองความถี่  $3f_0/2$  ได้ซึ่งเป็นประเด็นที่น่าสนใจเพื่อหาผลเฉลย ในงานวิจัยจะทำการศึกษาการใช้แบบจำลองอนุกรมโวลเทอรา (Volterra Series Model) เพื่อรับค่าเอกลักษณ์ขององค์ประกอบความถี่  $3f_0/2$  โดยทำการตรวจสอบผลตอบสนองเชิงความถี่ (Frequency responses) ของค่าเอกลักษณ์ในเทอมของความเป็นเชิงเส้น (Linear) และเทอมของความไม่เป็นเชิงเส้น (Nonlinear) ที่ได้รับจากแบบจำลองอนุกรมโวลเทอรา เพื่อประเมินความสามารถสำหรับการประยุกต์ใช้ในการแยกองค์ประกอบความถี่  $3f_0/2$  สำหรับปรับปรุงคุณภาพของภาพอัลตราชาวด์

## 1.2 การตรวจเอกสาร

1.2.1 Ultrasound contrast agent: An overview [4] บทความนึกถ่วงถึงคุณลักษณะและการใช้ประโยชน์ของสารเพิ่มความคมชัดสำหรับการอัลตราชาวด์ เพื่อช่วยเพิ่มประสิทธิภาพในการตรวจวินิจฉัยในทางการแพทย์ ปฏิกิริยาของสารเพิ่มความคมชัดเมื่อคลื่นอัลตราชาวด์ตกรอบหู จะให้กำเนิดองค์ประกอบความถี่อาร์มอนิก (Harmonic frequency components) ซึ่งมีความแตกต่างจากบริเวณเนื้อเยื่อที่ล้อมรอบที่ให้กำเนิดความถี่มูลฐาน (Fundamental frequency) ในงานวินิจฉัยฉบับนี้ยังชี้ให้เห็นการใช้ประโยชน์สำหรับปรับปรุงความคมชัดของภาพอัลตราชาวด์จากการ



ใช้องค์ประกอบความถี่ยาร์มอนิก ซึ่งจะต้องใช้เทคนิคการประมวลสัญญาณเพื่อกำจัดความถี่มูลฐานออกไป

1.2.2 Generation of ultraharmonics in surfactant based ultrasound contrast agents: use and advantages [8] บทความนี้ได้กล่าวถึงข้อดีและศักยภาพของการกำเนิดองค์ประกอบความถี่อัลตราหาร์มอนิกจากสารเพิ่มความคมชัดสำหรับอัลตราชาวด์ สำหรับภาพอัลตราชาวด์ทางการแพทย์ ข้อดีคือด้านความคมชัดเชิงเปรียบต่าง (Contrast resolution) ที่สูงกว่าเมื่อเทียบกับภาพจากองค์ประกอบความถี่ยาร์มอนิกที่สอง เนื่องจากยาร์มอนิกที่สองให้กำเนิดในเนื้อเยื่อซึ่งส่งผลให้ลดความคมชัดเชิงเปรียบต่าง ในบทความยังได้เสนอข้อแนะนำสำหรับการปรับปรุงคุณภาพของด้วยองค์ประกอบอัลตราหาร์มอนิกจำเป็นต้องใช้เทคนิคการประมวลสัญญาณที่มีประสิทธิภาพในการแยกองค์ประกอบความถี่

1.2.3 Super-harmonic imaging: development of an interleaved phased-array transducer [9] บทความนี้ได้กล่าวถึงข้อดีของการใช้ภาพอัลตราชาวด์จากองค์ประกอบความถี่ซูเปอร์หรืออัลตราหาร์มอนิกจากสารเพิ่มความคมชัดสำหรับอัลตราชาวด์ ในเบื้องต้นจะแสดงถึงความคลาสสิกและค่าความคมชัดเชิงเปรียบต่างสูงกว่าเมื่อเทียบกับภาพจากองค์ประกอบยาร์มอนิกที่สองที่ใช้กันอยู่โดยทั่วไป ในบทความยังได้นำเสนอประสิทธิภาพคุณลักษณะของการออกแบบสร้างตัวส่งและรับคลื่นอัลตราชาวด์ใหม่สำหรับองค์ประกอบความถี่ซูเปอร์หาร์มอนิกและให้เหตุผลสำหรับการใช้ เช่นเดียวกับภาพอัลตราชาวด์จากการความถี่ยาร์มอนิกที่สอง ซึ่งยาร์มอนิก และที่เป็นอันดับที่สอง

1.2.4 Postbeamforming second-order Volterra filter for pulse echo ultrasonic imaging [6] บทความนี้ได้นำเสนอวิธีการแยกองค์ประกอบความถี่เชิงเส้นและองค์ประกอบความถี่ราติกจากสัญญาณสะท้อนคลื่นจากการอัลตราชาวด์ เพื่อแยกองค์ประกอบความถี่ยาร์มอนิกที่สองออกมาสร้างภาพอัลตราชาวด์สำหรับปรับปรุงความคมชัดเชิงเปรียบต่าง โดยภาพไม่เสียความคมชัดเชิงพื้นที่ ในการออกแบบโดยการแก้สมการแบบจำลองโวลเทอราอันดับที่สองเพื่อหาค่าเคอนเนล (Kernel) ที่เหมาะสมในโดเมนเวลา (Time domain) จากนั้นนำค่าเคอนเนลที่ได้รับไปทำการแยกยาร์มอนิกที่สองออกมานำมาเพื่อปรับปรุงภาพอัลตราชาวด์ ภาพที่ได้รับโดยวิธีนี้ให้ความคมชัดทั้งในเชิงพื้นที่และเชิงเปรียบต่างที่ดีกว่าเมื่อเทียบกับทั้งภาพ B-mode และเทคนิคตัวกรองความถี่แบบผ่าน พลัส อินเวอร์ชัน

1.2.5 Subharmonic oscillation modeling and MISO Volterra series [10] บทความนี้ได้นำเสนอวิธีการแก้ปัญหาข้อจำกัดของแบบจำลองอนุกรมโวลเทอราที่ไม่สามารถใช้สำหรับการจำลองแบบองค์ประกอบยาร์มอนิกย่อย (ซึ่งยาร์มอนิกและอัลตราหาร์มอนิก) ได้ บทความได้นำเสนอการออกแบบโครงสร้างอนุกรมโวลเทอราแบบหลายอินพุตหนึ่งเอาท์พุต (Multiple-input-single-output: MISO) โดยการแบ่งสัญญาณอินพุตออกเป็นสัญญาณย่อยๆ ด้วยความยาวสัญญาณเท่ากับ 1



ควบเวลาเท่าๆกัน จากนั้นทำการแก้สมการแบบอนุกรมโวลเทอราเพื่อหาค่าเคอเนล จากนั้นนำค่าเคอเนลที่ได้รับไปวิเคราะห์หาเอาท์พุตและหาผลตอบสนองความถี่ ผลจากการทดสอบวิธีการ MISO สามารถใช้จำลองจำลองแบบองค์ประกอบยาร์มอนิกย่อได้ แต่ผลตอบสนองความถี่ไม่สามารถนำไปใช้แยกองค์ประกอบยาร์มอนิกย่อได้

1.2.6 Volterra frequency response functions analysis of subharmonic oscillation from bubble [7] บทความนี้นำเสนอการตรวจสอบพังก์ชันผลตอบสนองความถี่แบบจำลองอนุกรมโวลเทอราอันดับสอง ในทอมของลิเนียร์และองค์ประกอบความถี่จากสัญญาณสะท้อนคลื่นจากการอัลตราซาวด์ โดยการใช้เทคนิคแบบหลายอินพุตหลายเอาท์พุต (Multiple-input-multiple-output: MIMO) เพื่อตรวจสอบและวิเคราะห์ผลความสามารถสำหรับประยุกต์ใช้เป็นตัวกรององค์ประกอบความถี่ชั้บยาร์มอนิก จาผลการศึกษาพบว่าการใช้เทคนิคกระดุนแบบหลายอินพุตถึงแม้สามารถจำลองแบบสัญญาณสะท้อนคลื่นจากการอัลตราซาวด์ได้ แต่ไม่สามารถนำมาใช้แยกองค์ประกอบความถี่ได้ เนื่องจากการแบ่งอินพุตหลายๆสัญญาณทำให้มีหลายๆองค์ประกอบความถี่ และส่งผลให้แต่ละฟังก์ชันผลตอบสนองความถี่ มีผลตอบสนองหลายความถี่ด้วย จึงไม่สามารถนำมารองเริ่มองค์ประกอบความถี่ที่ต้องการได้ ดังนั้นพบว่าวิธีการที่จะใช้แยกความถี่ชับยาร์มอนิกได้จะต้องใช้ความถี่สัญญาณอินพุตเดียวและค่าความถี่หารสอง

จากการตรวจสอบเอกสาร พบร่วมกับองค์ประกอบความถี่อัลตราซาวด์มอนิกมีความน่าสนใจ สำหรับการปรับปรุงความคมชัดของภาพอัลตราซาวด์ให้ค่า CTR สูงเนื่องจากการกำหนดเฉพาะบริเวณที่มีสารแต่ไม่กำเนิดในบริเวณเนื้อยื่อ และเทคนิคการแยกองค์ประกอบความถี่สำหรับสร้างภาพอัลตราซาวด์ด้วยตัวกรองโวลเทอรามีความสามารถที่จะให้ค่า CTR สูง แต่อย่างไรก็ตาม ปัญหาของตัวโวลเทอราที่ใช้กันอยู่โดยทั่วไปหรือแบบหนึ่งอินพุตหนึ่งเอาท์พุท (Single-input single output: SISO) นั้นมีข้อจำกัดคือ ไม่สามารถสร้างตัวแบบองค์ประกอบอัลตราซาวด์มอนิกได้ ดังนั้นในงานวิจัยนี้ จะทำการศึกษามุ่งประเด็นไปที่การจำลองแบบองค์ประกอบอัลตราซาวด์มอนิกโดยการใช้แบบจำลองอนุกรมโวลเทอราเพื่อหาค่าเอกลักษณ์สำหรับการกรองความถี่อัลตราซาวด์มอนิก สำหรับเป็นภาพอีกหนึ่งทางเลือกสำหรับการปรุงคุณภาพของภาพอัลตราซาวด์

### 1.3 วัตถุประสงค์

1.3.1 เพื่อศึกษาวิธีการออกแบบสร้างแบบจำลององค์ประกอบความถี่อัลตราซาวด์มอนิกจากสัญญาณสะท้อนของสารเพิ่มความคมชัดสำหรับอัลตราซาวด์ด้วยแบบจำลองอนุกรมโวลเทอรา



1.3.2 เพื่อหาค่าเอกลักษณ์และตรวจสอบผลตอบสนองเชิงความถี่ เช่น ลิเนียร์เทอมและคลอดราติกเทอมของแบบจำลองอนุกรมโวลเทอรา สำหรับประยุกต์ใช้เป็นตัวกรองในการแยกองค์ประกอบความอัลตราไฮมอนิกเพื่อปรับปรุงคุณภาพของภาพจากอัลตราชาวด์

#### 1.4 ขอบเขตของการวิจัย

1.4.1 จำลองแบบ (Simulation) ตัวแทนพฤติกรรมการเคลื่อนที่แบบแก่ของสารเพิ่มความคงชัดเมื่อถูกระดับด้วยตัวส่งคืนอัลตราชาวด์ด้วยสมการของ Church เพื่อกำเนิดองค์ประกอบความถี่อัลตราไฮมอนิก

1.4.2 ศึกษาวิธีสร้างตัวแบบสัญญาณสะท้อนกลับขององค์ประกอบความถี่อัลตราไฮมอนิกด้วยแบบจำลองอนุกรมโวลเทอราเพื่อรับค่าเอกลักษณ์ของระบบ

1.4.3 ประเมินค่าเอกลักษณ์ที่ได้รับของแบบจำลองแบบอนุกรมโวลเทอราในลิเนียร์เทอมและคลอดราติกเทอมเพื่อตรวจสอบผลตอบสนองเชิงความถี่ สำหรับการนำไปประยุกต์ใช้แยกองค์ประกอบความถี่อัลตราไฮมอนิกสำหรับการสร้างภาพอัลตราชาวด์

การประมวลผลทั้งหมดทำโดยการใช้โปรแกรม MATLAB

#### 1.5 ขั้นตอนและวิธีการวิจัย

1.5.1 ทบทวนวรรณกรรมและงานวิจัยที่เกี่ยวข้องกับคุณลักษณะความถี่อัลตราไฮมอนิกและเทคนิคการประมวลสัญญาณดิจิตอลสำหรับภาพอัลตราชาวด์

1.5.2 ศึกษาระบวนการอัลตราชาวด์และคุณลักษณะการกำเนิดความถี่ความถี่อัลตราไฮมอนิกของสัญญาณสะท้อนกลับจากการเพิ่มความคงชัด

1.5.3 จำลองแบบการกำเนิดความถี่อัลตราไฮมอนิกจากสมการแบบจำลองการเคลื่อนที่แบบแก่ของสารเพิ่มความคงชัด

1.5.4 ออกแบบวิธีการจำลองแบบองค์ประกอบความถี่อัลตราไฮมอนิกจากสัญญาณสะท้อนกลับจากการเพิ่มความคงชัดด้วยแบบจำลองอนุกรมโวลเทอรา

1.5.5 ประเมินผลหาค่าเอกลักษณ์ในเชิงผลตอบสนองเชิงความถี่

1.5.6 ทดสอบผลและปรับปรุงแก้ไขอัลกอริทึม

1.5.7 สรุปผลและเขียนรายงาน

#### 1.6 ประโยชน์ที่คาดว่าจะได้รับ



### 1.6.1 เชิงอุตสาหกรรม

1.6.1.1 เพื่อนำไปประยุกต์ใช้ในปรับปรุงคุณภาพของภาพอัลตราซาวด์ช่วยเพิ่มประสิทธิภาพในการตรวจวินิจฉัยโรคได้

### 1.6.2 เชิงองค์ความรู้

1.6.2.1 ได้วิธีการสร้างแบบจำลององค์ประกอบความถี่อัลตราซาร์มอนิกโดยการใช้แบบจำลองอนุกรมโวลเทอรา

1.6.2.2 ได้วิธีการระบุค่าเอกลักษณ์เพื่อประเมินผลตอบสนองเชิงความถี่สำหรับประยุกต์ใช้เป็นวงจรกรองโวลเทอราในการแยกความถี่อัลตราซาร์มอนิก



## บทที่ 2

### การจัดเตรียมเครื่องมือ

ในบทนี้จะกล่าวถึงการจัดเตรียมเครื่องมือสำหรับการออกแบบเพื่อระบุค่าเอกลักษณ์ขององค์ประกอบความถี่อัตราหารมอนิกสำหรับใช้เป็นตัวกรองความถี่เพื่อสร้างภาพอัตราชาวด์ โดยทัน้ำจำกัดความถี่ของเครื่องมือที่ใช้สำหรับการจำลองระบบสัญญาณสะท้อนคลื่นอัตราชาวด์ที่ใช้เป็นตัวแทนสัญญาณต้นฉบับคลื่นสะท้อนจากการอัตราชาวด์ ระบบแบบจำลองอนุกรมโวลเทอรา และการสร้างตัวแบบองค์ประกอบความถี่อัตราหารมอนิกกับแบบจำลองโวลเทอรา

#### 2.1 ระบบสัญญาณสะท้อนคลื่นอัตราชาวด์

ภาพจากการอัตราชาวด์ที่มีคุณลักษณะไม่เป็นเชิงเส้น จะแตกต่างจากการอัตราชาวด์ด้วยวิธีการแบบเดิมที่นิยมใช้กัน นั้นคือจะมีการใช้สารเพิ่มความคมชัดสำหรับการอัตราชาวด์ (Ultrasound contrast agents: UCAs) โดยวิธีการฉีดเข้าไปภายในร่างกาย สัญญาณสะท้อนคลื่นอัตราชาวด์ที่ดำเนินมาจากมาปฏิกิริยาระหว่างคลื่นอัตราชาวด์ไประหว่างที่กระแทกับสารเพิ่มความคมชัด ซึ่งจะสะท้อนออกมาด้วยคุณลักษณะไม่เป็นเชิงเส้น สัญญาณสะท้อนคลื่นอัตราชาวด์ที่มีคุณลักษณะไม่เป็นเชิงเส้นนี้ จะประกอบไปด้วยองค์ประกอบความถี่ต่างๆ กันคือ เมื่อตัวส่งคลื่นทำการอัตราชาวด์ด้วยความถี่สูงที่ความถี่มูลฐาน  $f_0$  ไปยังบริเวณที่ต้องการอัตราชาวด์ จะดำเนินสัญญาณสะท้อนกลับที่องค์ประกอบของความถี่มูลฐาน  $f_0$  ความถี่ซับหารมอนิก (Subharmonic) ที่  $f_0/2$ , ความถี่อัตราหารมอนิก (Ultraharmonic) ที่  $3f_0/2$  และความถี่หารมอนิกที่สอง (Second-harmonic) ที่  $2f_0$  ในงานวิจัยนี้การดำเนินสัญญาณสะท้อนคลื่นอัตราชาวด์เราได้ใช้วิธีการจำลองแบบสัญญาณสะท้อนคลื่นอัตราชาวด์ การดำเนินของสัญญาณสะท้อนคลื่นอัตราชาวด์นั้นมาจากการเพิ่มความคมชัด ตัวแทนที่ใช้คือสมการแบบจำลองของ Church ตัวแทนนี้ได้มีการคิดค้นพัฒนาและมีรายงานวิจัยหลายงานพิสูจน์ได้ว่าสามารถให้ผลความถูกต้องมีความสัมพันธ์เป็นไปในทิศทางเดียวกันกับผลการทดลองจริง ตัวแทนแบบจำลองสมการ Church สามารถเขียนได้ดังสมการที่ (2-1) [11, 12, 13]

$$\begin{aligned} \rho_L \left( R''R + \frac{3}{2}(R')^2 \right) = p_0 \left( \left( \frac{R_0}{R} \right)^{3\kappa} - 1 \right) - P_{in}(t) - 4\mu_L \frac{R'}{R} \\ - 12\mu_s \frac{d_s R_0^2}{R^3} \frac{R'}{R} - 12G_s \frac{d_s R_0^2}{R} \left( 1 - \frac{R_0}{R} \right) \end{aligned} \quad (2-1)$$



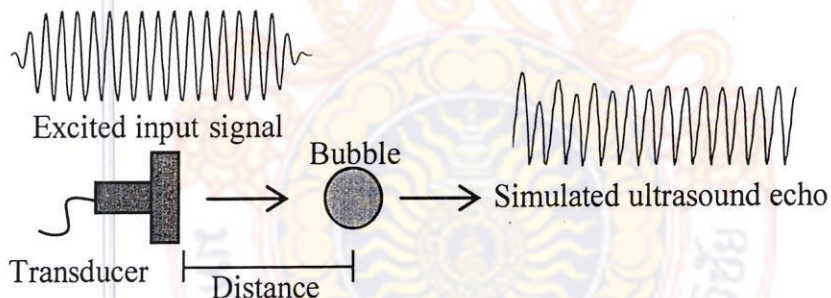
มหาวิทยาลัยเทคโนโลยีราชมงคลรัตนโกสินทร์

เมื่อ  $R$  คือรัศมีการเคลื่อนที่ของสารที่เวลาใดๆ  $R'$  และ  $R''$  คืออนุพันธ์อันดับที่หนึ่งและสองของรัศมีเทียบกับเวลา ตามลำดับ,  $R_0$  คือรัศมีก่อนเริ่มต้นเคลื่อนที่ของสาร,  $\rho_L$  คือค่าความหนาแน่นของเหลวที่อยู่โดยรอบสาร,  $\mu_L$  คือค่าความหนืดของของเหลว,  $d_s$  คือค่าความหนาเปลือกห่อหุ้มสาร,  $G_s$  คือค่าโมดูลัสแรงเฉือนเปลือกห่อหุ้มสาร,  $\mu_s$  คือค่าความหนืดเปลือกห่อหุ้มสาร,  $K$  คือค่าการขยายตัวสาร,  $p_0$  คือค่าความดันของของเหลวโดยรอบสาร และ  $P_{in}(t) = P_A \cos(\omega t)$  คือความดันที่ใช้ เมื่อ  $P_A$  คือความดันสูงสุด และ  $\omega$  คือความถี่เชิงมุม

ค่าเอาท์พุทตามสมการ (2-1) ที่คำนวณได้เป็นค่ารัศมีการแแก่งเมื่อถูกกระตุนด้วยคลื่นอัลตราชาวด์ สามารถแปลงกลับเป็นความดันเสียง  $P_{UCA}$  ด้วยสมการ (2-2) [14]

$$P_{UCA}(t) = \rho_L r^{-1} (R^2 R'' + 2R(R')^2) \quad (2-2)$$

เมื่อ  $r$  คือระยะห่างระหว่างตัวส่งคลื่นและสารเพิ่มความคมชัด ระบบแบบจำลองการกำเนิดสัญญาณสะท้อนคลื่นอัลตราชาวด์ ดังแสดงในรูปที่ 2-1



รูปที่ 2-1 ระบบสัญญาณสะท้อนคลื่นอัลตราชาวด์โดยการใช้แบบจำลองสมการ Church

## 2.2 ระบบแบบจำลองโวลเทอรา

สมการอนุกรมโวลเทอราแบบหนึ่งอินพุทนี้เอาท์พุทเป็นสมการทางคณิตศาสตร์ที่สามารถใช้สำหรับเป็นตัวแทนของระบบไม่เป็นเชิงเส้น ระบบสมการที่มีความระหว่างสัญญาณอินพุตและเอาท์พุต สามารถเขียนดังสมการ (2-3) [15]



$$\begin{aligned}
 y(t) = & h_0 + \int_{-\infty}^{\infty} h_1(\tau_1)x(t-\tau_1)d\tau_1 + \int_{-\infty}^{\infty} \int_{-\infty}^{\infty} h_2(\tau_1, \tau_2)x(t-\tau_1)u(t-\tau_2)d\tau_1 d\tau_2 + \dots \\
 & + \int_{-\infty}^{\infty} \int_{-\infty}^{\infty} \dots \int_{-\infty}^{\infty} h_k(\tau_1, \tau_2, \dots, \tau_k)x(t-\tau_1)x(t-\tau_2)\dots x(t-\tau_k)d\tau_1 d\tau_2 \dots d\tau_k
 \end{aligned} \quad (2-3)$$

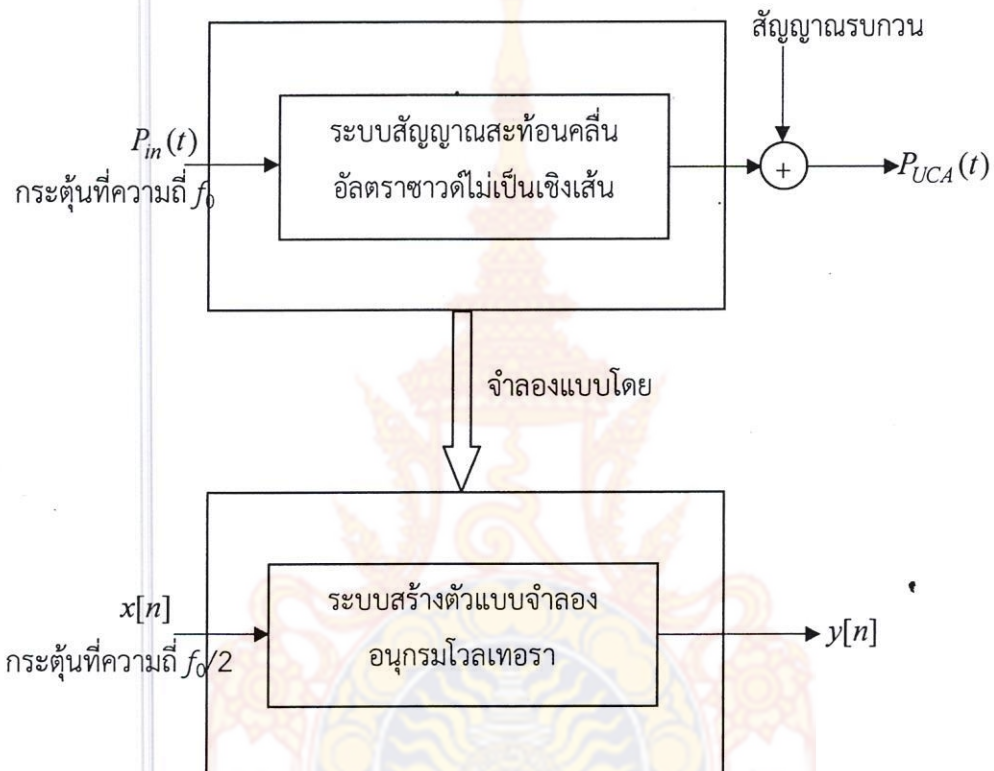
เมื่อ  $y(t)$  คือสัญญาณผลตอบสนองເອຫັນພຸດ,  $x(t)$  คือสัญญาณອິນພຸດ  $h_k(\tau_1, \tau_2, \dots, \tau_k)$  คือผลตอบสนองອິນພຸດສໍຂອງຮະບບແຕ່ລະອັນດັບແທນດ້ວຍຕັ້ງໆ  $k$

### 2.3 ระบบการสร้างตัวแบบองค์ประกอบความถี่อัลตราหารົມອິນດ້ວຍແບບຈຳລອງໂວລເທອຣາ

เนื่องจากແບບຈຳລອງໂວລເທອຣາທີ່ໃຊກັນອູ້ໂດຍທ່າໄປ ພຣີເຮີຍກວ່າແບບນີ້ອິນພຸທນີ້ເອຫັນພຸດ (Single-input-single-output: SISO) ໃຊ້ໄດ້ສໍາຫັບສ້າງຕົວແບບກັບອົບປະກອບຄວາມຄືທີ່ເປັນຄວາມຄືຫາຽມອິນິກທີ່ເພີ່ມເຂົ້າແບບເທົ່ວວ່າ  $n$  ນັ້ນຄື່ອງ  $f_0, 2f_0, 3f_0, \dots$  ແຕ່ໄນ່ສາມາດໃຊ້ໄດ້ກັບການສ້າງຕົວແບບອົບປະກອບຄວາມຄື  $f_0/2$  ແລະ  $3f_0/2$  ນັ້ນຄື່ອງທັງອົບປະກອບຄວາມຄືສັບຫາຽມອິນິກແລະອັລຕຣາຫາຽມອິນິກ ມີຜູ້ນຳເສັນໂດຍ O.M. Boaghe and S. Billings [10] ວິທີການຈຳລອງແບບອົບປະກອບຄວາມຄື  $f_0/2$  ໂດຍການໃຊ້ເຖົນີກຫາຍອິນພຸທນີ້ເອຫັນພຸດ (Multiple-input-single-output: MISO) ຜຶ່ງວິທີດັ່ງກ່າວ ສາມາດສ້າງຕົວແບບທັງອົບປະກອບຄວາມຄື  $f_0/2$  ແລະ  $3f_0/2$  ໄດ້ ແຕ່ຍ່າງໄຮກ້ຕາມ ໃນແຈ່ຂອງການປະຢຸກຕີໃຊ້ແບບຈຳລອງອນຸກຮມໂວລເທອຣາສໍາຫັບຮອງອົບປະກອບຄວາມຄືດັ່ງກ່າວໄວ່ສາມາດໃຫ້ໄດ້ ວິທີຂອນນີ້ໄດ້ຖຸກນຳນາມໃຊກັນສັງຄູນສະຫຼຸບສັບສັນຍາດີ່ເອົາຫາວັດເພື່ອພິສູ່ຈົນຝັກຄວາມສາມາດສໍາຫັບຈຳລອງແບບກັບອົບປະກອບຄວາມຄືທີ່  $f_0/2$  ແລະ  $3f_0/2$  ໂດຍ C. Samakee ແລະ P. Phukpattaranont [7, 16] ພົບທີ່ໄດ້ຊື້ໃຫ້ເຫັນລຶ່ງຄວາມສາມາດຂອງເຖິງມີການ MISO ທີ່ສາມາດສ້າງຕົວແບບຄຸນລັກຂະພະຂອງອົບປະກອບຄວາມຄື  $f_0/2$  ແລະ  $3f_0/2$  ໄດ້ຈົງ ແຕ່ຍ່າງກໍຕາມໃນແຈ່ຂອງການປະຢຸກຕີໃຊ້ສໍາຫັບກາງຮອງຄວາມຄືໄວ່ສາມາດໃຫ້ໃຊ້ຄ່າເອກລັກຂະໜົດສໍາຫັບວິທີນີ້ໄດ້ ເຫຼຸດພຸດນີ້ຈາກຮາຍງານວິຈິຍໃນເອກສານທີ່ [16] ທີ່ໄວ່ສາມາດໃຊ້ສໍາຫັບກາງຮອງອົບປະກອບຄວາມຄື  $f_0/2$  ໄດ້ນັ້ນເນື່ອຈາກວ່າໃນຮະບບ MISO ນັ້ນຈະກຳທຳການແບ່ງສັງຄູນອິນພຸດເປັນສັງຄູນຍ່ອຍໆຕາມຄາບຂອງການເກີດໜັງສັງຄູນເອຫັນພຸດ ຜຶ່ງການແບ່ງສັງຄູນອິນພຸດເປັນສັງຄູນໃໝ່ໜ່າຍໆສັງຄູນນີ້ ທຳໄໝມີໜ່າຍໆຄວາມຄືເກີດເຂົ້າໃນສັງຄູນແລະໄນ້ໄດ້ເປັນສັງຄູນເດືອກ (Single tone) ຈຶ່ງສັງຜລໃຫ້ການຕົວສອນຂອງຟິັງກົງໜັງຜລຕົວສອນຄວາມຄືຂອງແບບຈຳລອງໂວລເທອຣາ ມີຜົດຕົວສອນຫລາຍໆຄວາມຄືດ້ວຍເຫັນເວົ້າຕີ່ເຫັນພຸດໄດ້ເພີ່ມເຂົ້າແລະ ດັ່ງນັ້ນໃນງານວິຈິຍນີ້ ຈະນຳເສັນການໃຊ້ເຖົນີກທີ່ເຮີຍກວ່າການຮະຕັບສັງຄູນສັງຄູນເດືອກທີ່ຄວາມຄືອິນພຸດຮົງໜຶ່ງຂອງຄວາມຄືມູລຮູານ (Half-frequency input) ສໍາຫັບສ້າງຕົວແບບອົບປະກອບຄວາມຄື  $3f_0/2$  ພົບທີ່ໄດ້ຈາກການຈຳລອງແບບ



คือค่าเอกลักษณ์ของระบบซึ่งจะถูกนำมาวิเคราะห์เพื่อหาคุณลักษณะผลตอบสนองความถี่สำหรับประยุกต์ใช้ในการกรององค์ประกอบความถี่อัลตราซาวมอนิก ระบบการจำลองและสร้างตัวแบบองค์ประกอบความถี่อัลตราซาวมอนิกด้วยแบบจำลองโวลเทอรา ดังแสดงในรูปที่ 2-2



รูปที่ 2-2 ระบบการจำลองแบบและสร้างตัวแบบสะท้อนคลื่นอัลตราซาวด์โดยการใช้แบบจำลองโวลเทอรา

## 2.4 สรุป

ในบทนี้นำเสนอการจัดเตรียมเครื่องมือต่างๆ สำหรับการสร้างตัวแบบเพื่อบรุค่าเอกลักษณ์ขององค์ประกอบความถี่อัลตราซาวมอนิกโดยการใช้แบบจำลองโวลเทอราประกอบด้วย ระบบสัญญาณสะท้อนคลื่นอัลตราซาวด์เป็นการสร้างสัญญาณสะท้อนกลับจากการอัลตราซาวด์ตันฉบับสัญญาณสะท้อนคลื่นอัลตราซาวด์กำเนิดจากมาปฏิกิริยาระหว่างคลื่นอัลตราซาวด์ไปรบทับสารเพิ่มความคมชัด ซึ่งจะสะท้อนออกมาด้วยคุณลักษณะไม่เป็นเชิงเส้น ในงานวิจัยนี้ใช้วิธีการจำลองแบบ



มหาวิทยาลัยเทคโนโลยีราชมงคลรัตนโกสินทร์

สัญญาณสะท้อนคลื่นอัลตราซาวด์ โดยตัวแทนสมการแบบจำลองของ Church ระบบแบบจำลองอนุกรมโวลเทอรา เป็นสมการทางคณิตศาสตร์ที่สามารถใช้สำหรับเป็นตัวแทนของระบบไม่เป็นเชิงเส้น เป็นส่วนที่ใช้ในการประมวลสัญญาณสำหรับปรับปรุงคุณภาพของภาพอัลตราซาวด์ ในส่วนนี้จะเป็นส่วนของการหาค่าเอกลักษณ์ของระบบสำหรับใช้เพื่อแยกองค์ประกอบความถี่อัลตราซาร์มอนิก โดยใช้แบบจำลองอนุกรมโวลเทอรา และสุดท้ายคือระบบการสร้างตัวแบบองค์ประกอบความถี่อัลตราซาร์มอนิกด้วยแบบจำลองอนุกรมโวลเทอรา ส่วนนี้จะเป็นการรวมทั้งสองระบบที่กล่าวมาก่อนนี้ คือทั้งส่วนของระบบสัญญาณสะท้อนคลื่นอัลตราซาวด์และระบบแบบจำลองโวลเทอรา ซึ่งจะเป็นขั้นตอนวิธีของการสร้างตัวแบบในการระบุค่าเอกลักษณ์ของระบบที่ต้องการ ซึ่งโดยวิธีการปกติของแบบจำลองโวลเทอราไม่สามารถที่จะใช้สร้างตัวแบบขององค์ประกอบอัลตราซาร์มอนิกได้ แต่ในงานวิจัยนี้สามารถใช้ได้โดยใช้วิธีการที่เรียกว่าการกระตุนความถี่อินพุทครึงหนึ่งของความถี่มูลฐาน





## บทที่ 3

### วิธีการจำลองและสร้างตัวแบบ

ในบทนี้จะนำเสนอรายละเอียดของวิธีการจำลองแบบการนำเสนอสัญญาณสะท้อนกลับจาก การอัลตราซาวด์ และการสร้างตัวแบบทางคณิตศาสตร์ด้วยแบบจำลองโวลเทอรา ซึ่งเป็นเครื่องมือที่ใช้สำหรับระบุค่าเอกลักษณ์ขององค์ประกอบความถี่อัลตราซาวาร์มอนิก ซึ่งเป็นความถี่ที่เราสนใจในการแยกองค์ประกอบของมาสำหรับสร้างภาพอัลตราซาวด์เพื่อปรับปรุงความคมชัดของภาพ สำหรับทั้งสองระบบใหญ่ของการจำลองแบบและสร้างตัวแบบ ได้อธิบายเป็นหลักการไปแล้วในบทที่ 2 ที่ผ่านมา สำหรับในบทนี้จะกล่าวถึงรายละเอียดของวิธีการ และค่าพารามิเตอร์ต่างๆที่จะใช้ในแต่ละวิธีการ ของทั้งสองระบบ

#### 3.1 การจำลองแบบสัญญาณสะท้อนคลื่นอัลตราซาวด์

การสร้างสัญญาณสะท้อนคลื่นอัลตราซาวด์สำหรับใช้เป็นตัวแทนสัญญาณจากการอัลตราซาวด์แบบใช้สารเพิ่มความคมชัด เราใช้วิธีการจำลองแบบจากการตัวแทนคุณลักษณะทางกายภาพของสารเพิ่มความคมชัด นั่นคือ สมการที่ (2-1) ถูกพัฒนาโดย Church [11] ดังรายละเอียดที่กล่าวในบทที่ 2 คุณลักษณะที่ได้จากการที่ (2-1) หาผลเฉลยด้วยวิธีรุ่งคุตตาอันดับสี่ (Fourth-order Runge-Kutta) บนโปรแกรม MATLAB ผลตอบสนองการแก่งของค่ารัศมีของสารเพิ่มความคมชัด เมื่อถูกกระตุ้นด้วยคลื่นอัลตราซาวด์  $P_m(t) = P_A \cos(2\pi f_0 t)$  ดังนั้นสมการ (2-1) จะถูกแปลงกลับไปเป็นความดันเสียงสัญญาณสะท้อนกลับคลื่นอัลตราซาวด์ โดยสมการ (2-2) [14]

การกระตุ้นคลื่นอัลตราซาวด์ไปยังฟองอากาศใช้ลูกคลื่นไซนุซอยด์ความถี่สูงที่  $f_0 = 5 \text{ MHz}$  เพื่อให้เห็นการนำเสนอองค์ประกอบความถี่อัลตราซาวาร์มอนิกที่เด่นชัด เราใช้ความดันเสียง  $P_A = 1 \text{ MPa}$  จำนวน 16 ลูกคลื่น ระยะห่างระหว่างตัวส่งคลื่นและสาร  $r = 6 \text{ cm}$  ผลตอบสนองของตัวรับ-ส่ง สัญญาณอัลตราซาวด์เป็นรูปคลื่นพัลส์ไซนุซอยด์เกาส์เชียนที่ถูกมอดูเลท (Gaussian-modulated sinusoidal pulse) ด้วยค่าเฟรကชันแบนด์เบนด์วิท (Fractional bandwidth) 60% อัตราการสูบ 100 MHz เงื่อนไขเริ่มต้นที่  $R = R_0$  และ  $R' = 0$  ที่  $t = 0$  สำหรับค่าพารามิเตอร์ที่ใช้เป็นไปตามอ้างอิงจากรายงานวิจัยในเอกสาร [12, 17] ดังแสดงในตารางที่ 3-1 สัญญาณสะท้อนกลับที่ได้รับจะถูกนำไปรวมกับสัญญาณเกาส์เชียนไวน์น้อย (Gaussian white noise) โดยมีระดับสัญญาณต่อสัญญาณรบกวน 50 dB



ตาราง 3-1 ค่าพารามิเตอร์ต่างๆของสารเพิ่มความคมชัด [11, 17]

พารามิเตอร์	ค่าที่ใช้
รัศมีเริ่มต้นของสาร	$R_0 = 1 \mu\text{m}$
ความหนาแน่นของน้ำ	$\rho_L = 1000 \text{ kg}\cdot\text{m}^{-3}$
ความดันน้ำ	$p_0 = 1.01 \times 10^5 \text{ Pa}$
การขยายตัวของก๊าซ	$\kappa = 1.09$
ความหนืดของน้ำ	$\mu_L = 0.001 \text{ Pa}\cdot\text{s}$
ความหนืดของเปลือกสาร	$\mu_S = 1.49 \text{ Pa}\cdot\text{s}$
ความหนาของเปลือกสาร	$d_s = 1 \text{ nm}$
โมดูลัสแรงเฉือนของเปลือกสาร	$G_s = 10 \text{ MPa}$

### 3.2 การสร้างตัวแบบสัญญาณคลื่นอัลตราชาวด์ด้วยแบบจำลองโวลเทอรา

การใช้แบบจำลองสมการอนุกรมโวลเทอราแบบหนึ่งอินพุทหนึ่งเอาท์พุทโดยทั่วไปหรือแบบที่เรียกโดยย่อว่า SISO นั้นไม่สามารถใช้สร้างตัวแบบสำหรับทั้งองค์ประกอบความถี่อัลตราชาวด์มอนิกได้เนื่องจากระบบ SISO มีผลตอบสนองแต่เฉพาะองค์ประกอบอาร์มอนิกที่เป็นผลคูณค่าคงที่เพิ่มขึ้นหนึ่งเท่านั้นคือ  $f_0, 2f_0, 3f_0, \dots$  จำนวนเท่าตัวขึ้นอยู่กับอันดับที่ใช้ ดังนั้นมีเชื่อมพุทธิภาพที่  $f_0/2$  กระตุ้นระบบแบบจำลองโวลเทอรา ดังนั้นผลตอบสนองรวมของเอาท์พุทจะให้ผลตอบสนองหารครึ่งจากผลตอบสนองเดิมเป็น  $f_0/2, f_0, 3f_0/2, \dots$  ซึ่งสามารถตอบสนององค์ประกอบความถี่ที่เราต้องการได้

โดยทั่วไปการใช้แบบจำลองสมการอนุกรมโวลเทอราดังในสมการ (2-3) จะนำมาใช้แบบแยกส่วน การเลือกใช้อันดับใดจะขึ้นอยู่กับงานที่ต้องการ สำหรับงานวิจัยเพื่อจำลองแบบองค์ประกอบความถี่อัลตราชาวด์มอนิกของสัญญาณอัลตราชาวด์ เราเลือกใช้สมการอนุกรมโวลเทอราอันดับที่สาม (Third-order Volterra series) ซึ่งจะทำให้ได้ผลตอบสนององค์ประกอบความถี่อัลตราชาวด์มอนิก สมการอนุกรมโวลเทอราอันดับที่สามสามารถเขียนได้คือ [18]

$$\begin{aligned}
 y(n) = & h_0 + \sum_{k_1=0}^{N-1} h_1(k_1)x(n-k_1) + \sum_{k_1=0}^{N-1} \sum_{k_2=0}^{N-1} h_2(k_1, k_2)x(n-k_1)x(n-k_2) \\
 & + \sum_{k_1=0}^{N-1} \sum_{k_2=0}^{N-1} \sum_{k_3=0}^{N-1} h_3(k_1, k_2, k_3)x(n-k_1)x(n-k_2)x(n-k_3)
 \end{aligned} \tag{3-1}$$



เมื่อ  $x(n)$  และ  $y(n)$  คือสัญญาณอินพุทและเอาท์พุท ตามลำดับ  $h_0, h_1(k_1), h_2(k_1, k_2)$  และ  $h_3(k_1, k_2, k_3)$  คือค่าสัมประสิทธิ์ของตัวกรองไบแอด, อันดับหนึ่ง, อันดับสอง และอันดับสาม ตามลำดับ และ  $N$  คือจำนวนความยาวของตัวกรอง

ผลตอบสนองความถี่เอาท์พุทของระบบแบบจำลองในสมการ (3-1) สามารถหาได้จาก

$$y(f) = \sum_{n=0}^{M-1} y(n) e^{-j2\pi kn/M} \quad (3-2)$$

เมื่อ  $y(f)$  คือผลการแปลงฟูเรียร์ไม่ต่อเนื่อง (Discrete Fourier transform) ของ  $y(n)$ ,  $M$  คือ ความยาวของสัญญาณอินพุท และ  $k$  เป็นตัวชี้มีค่าตั้งแต่ 0, 1, ...,  $M-1$

### 3.3 การระบุค่าเอกลักษณ์ของระบบ

ในส่วนนี้จะอธิบายรายละเอียดเกี่ยวกับวิธีการระบุค่าเอกลักษณ์ของแบบจำลองเวลาเทอรา อันดับสาม โดยการใช้เทคนิคที่เรียกว่า การรัตตุนความถี่อินพุทครึ่งหนึ่งของความถี่มูลฐาน การหาค่าเอกลักษณ์ในสมการที่ (3-1) สามารถเขียนอยู่ในรูปสมการพีชคณิตเชิงเส้น (Linear algebra equation) ได้เป็น

$$\mathbf{y} = \mathbf{X}\mathbf{h} \quad (3-3)$$

เมื่อ  $\mathbf{y}$  แทนเวกเตอร์เอาท์พุทของ  $y(n)$  สามารถเขียนสมการเป็น

$$\mathbf{y} = \begin{bmatrix} y(0) \\ y(1) \\ y(2) \\ \vdots \\ y(n) \end{bmatrix} \quad (3-4)$$

$\mathbf{X}$  แทนเมตริกซ์อินพุทของ  $x(n - k_i)$  สามารถเขียนสมการเป็น



$$\mathbf{X} = \begin{bmatrix} 1 & x(0) & x(-1) & \cdots & x^i(n-M+1) \\ 1 & x(1) & x(0) & \cdots & x^i(n-M+2) \\ 1 & x(2) & x(1) & \cdots & x^i(n-M+3) \\ \vdots & \vdots & \vdots & \ddots & \vdots \\ 1 & x(n) & x(n-1) & \cdots & x^i(n-M+L) \end{bmatrix} \quad (3-5)$$

และ  $\mathbf{h}$  แทนเวกเตอร์สัมประสิทธิ์ตัวกรอง  $h_i(k_1, k_2, \dots, k_i)$  ซึ่งสามารถเขียนได้เป็น

$$\mathbf{h} = \begin{bmatrix} h_0 \\ h_1(0) \\ h_1(1) \\ \vdots \\ h_i(M-1, \dots, M-1) \end{bmatrix} \quad (3-6)$$

เมื่อ  $M$  แทนความยาวของความทรงจำ,  $L$  แทนความยาวลำดับสัญญาณอินพุท และ  $i$  แทนตัวชี้ของอันดับใดๆ ของแบบจำลองโวตเทอร่า ซึ่งในการสร้างตัวแบบสำหรับองค์ประกอบความถี่อัลตราไฮบร์มอนิกจะเลือกใช้เป็นอันดับสาม

การหาค่าเอกลักษณ์ของระบบ จากสมการที่ (3-3) สามารถเขียนใหม่ได้เป็น

$$\mathbf{h} = \mathbf{X}^\dagger \mathbf{y} \quad (3-7)$$

เมื่อ  $\mathbf{X}^\dagger$  แทนอินเวอร์สมเมทริกซ์ (Inverse matrix) โดย  $\mathbf{X}$  จะอยู่ในรูปแบบของวิธีการแยกค่าเอกฐาน (Singular value decomposition: SVD) คือ

$$\mathbf{X} = (\mathbf{U} \mathbf{S} \mathbf{V}^T) = \sum_{i=1}^r \sigma_i \mathbf{u}_i \mathbf{v}_i^T \quad (3-8)$$

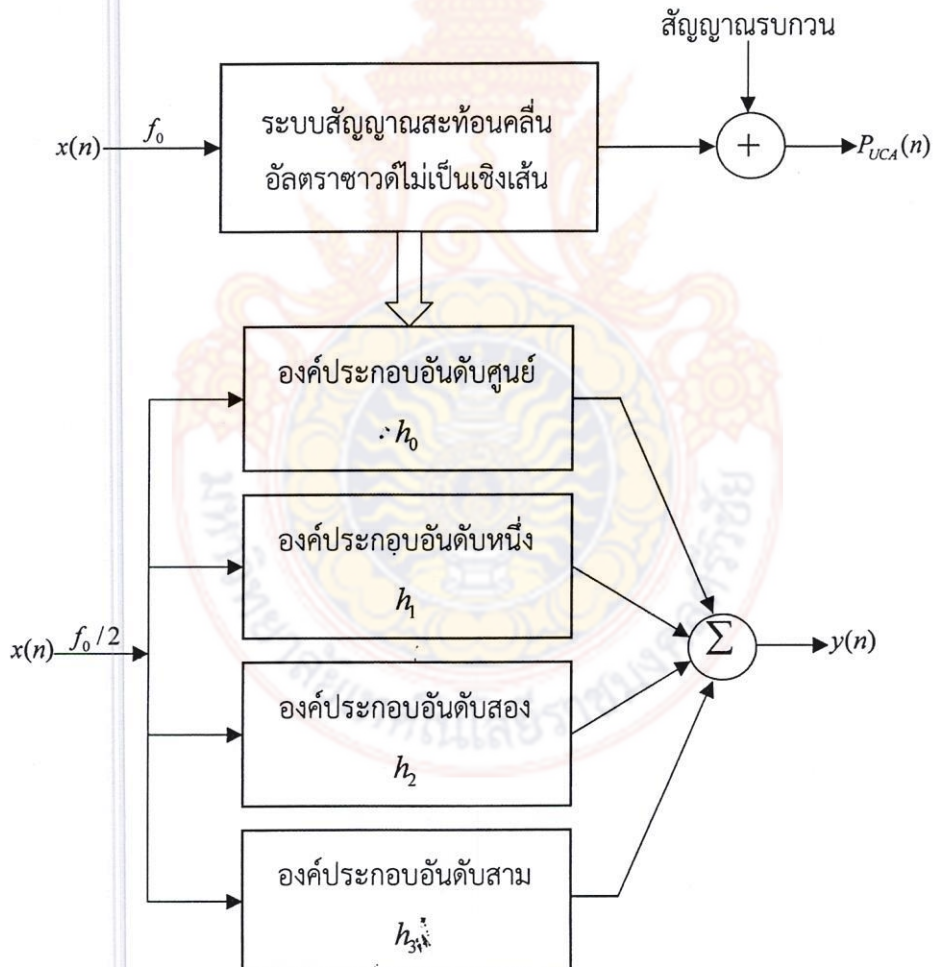
ดังนั้น สมการหาค่าเอกลักษณ์ของระบบในสมการ (3-7) สามารถเขียนได้เป็น

$$\mathbf{h} = (\mathbf{U} \mathbf{S} \mathbf{V}^T)^\dagger \mathbf{y} = \sum_{i=1}^r \mathbf{v}_i \frac{1}{\sigma_i} \mathbf{u}_i^T \mathbf{y} \quad (3-9)$$



เมื่อ  $S$  คือเมตริกซ์ในแนวเส้นทแยงมุมหลักที่มีสมาชิกเป็นค่าเอกฐานขนาด  $r = M \times N$   
 $S = diag(\sigma_1, \sigma_2, \sigma_3, \dots, \sigma_r)$  โดย  $\sigma_1 \geq \sigma_2 \geq \sigma_3 \dots \geq \sigma_r \geq 0$ ,  $U$  และ  $V$  คือเมตริกซ์ยูนิแทรี (Unitary matrix) ขนาด  $M \times N$  โดยสมาชิกของ  $U = \mathbf{u}_1, \mathbf{u}_2, \mathbf{u}_3, \dots, \mathbf{u}_M$  ขนาด  $M \times M$  และ สมาชิกของ  $V = \mathbf{v}_1, \mathbf{v}_2, \mathbf{v}_3, \dots, \mathbf{v}_N$  ขนาด  $N \times N$

ระบบการระบุค่าเอกลักษณ์จะเริ่มจากการสร้างสัญญาณสะท้อนจากการอัลตราชาวด์ด้วย การจำลองแบบสมการ Church จากนั้นนำสัญญาณที่ได้มาสร้างตัวแบบโดยแบบจำลองโวลเทอรา อันดับสาม โดยให้สัญญาณสะท้อนคลื่นอัลตราชาวด์  $P_{UCA}(n)$  แทนสัญญาณเอาร์พุท  $y(n)$  ของแบบจำลองโวลเทอรา และสัญญาณอินพุท  $x(n)$  ลดอัตราสุ่มจากค่าเดิม  $f_0$  เป็น  $f_0/2$  ไดอะแกรมของระบบดังแสดงในรูปที่ 3-1



รูปที่ 3-1 การระบุค่าเอกลักษณ์ของสัญญาณสะท้อนคลื่นอัลตราชาวด์ด้วยแบบจำลองอนุกรมโวลเทอราอันดับสาม



มหาวิทยาลัยเทคโนโลยีราชมงคลธัญบุรี

### 3.4 สรุป

ในบทนี้เป็นการอธิบายขั้นตอนวิธีการจำลองแบบและการสร้างตัวแบบที่เป็นรายละเอียดทั้งด้านเทคนิคและค่าพารามิเตอร์ที่ใช้ สัญญาณสะท้อนคลื่นอัลตราซาวด์ได้จากการจำลองแบบ พฤติกรรมการแก่วงที่ไม่เป็นเชิงเส้นของสารเพิ่มความคมชัดเมือถูกกระตุ้นด้วยคลื่นอัลตราซาวด์ ตัวแทนของสารเพิ่มความคมชัดจะใช้แบบจำลองสมการ Church สำหรับการสร้างตัวแบบ สัญญาณคลื่นอัลตราซาวด์ด้วยอนุกรมโวลเทอรา ซึ่งสมการที่ใช้กันอยู่โดยทั่วไปหรือที่เรียกว่าแบบ SISO นั้นคุณสมบัติไม่สามารถจับหรือตอบสนองที่ความถี่อัลตราเซิร์ฟอนิก ดังนั้นในงานวิจัยนี้จะใช้เทคนิคการกระตุ้นความถี่อินพุตครึ่งหนึ่งของความถี่มูลฐานของสัญญาณอินพุตของแบบจำลองแบบจำลองโวลเทอราอันดับสาม เนื่องจากผลจากการออกแบบด้วยวิธีนี้ส่งผลให้คุณสมบัติของระบบ SISO มีความสามารถตอบสนองความถี่มูลฐานหารสองด้วย ซึ่งจะทำให้อนุกรมโวลเทอราอันดับสามมีความสามารถสร้างตัวแบบองค์ประกอบความถี่อัลตราเซิร์ฟอนิกได้





## บทที่ 4

### ผลการจำลอง

ในบทที่ 3 ที่ผ่านมา เราได้ก่อตัวถึงรายละเอียดของวิธีการจำลองแบบของสัญญาณสะท้อนกลับจากการอัลตราชาวด์และการสร้างตัวแบบขององค์ประกอบอัลตราชาาร์มอนิกด้วยแบบจำลองโวลเทอรา สำหรับเนื้อหาในบทนี้จะก่อตัวถึงผลลัพธ์การจำลองที่ได้รับตามวิธีการดังที่ได้ก่อตัวไปในบทที่ 3 โดยผลลัพธ์จากการจำลองแบบ มีรายละเอียดดังต่อไปนี้

#### 4.1 การจำลองแบบและสร้างตัวแบบสัญญาณสะท้อนคลื่นอัลตราชาวด์

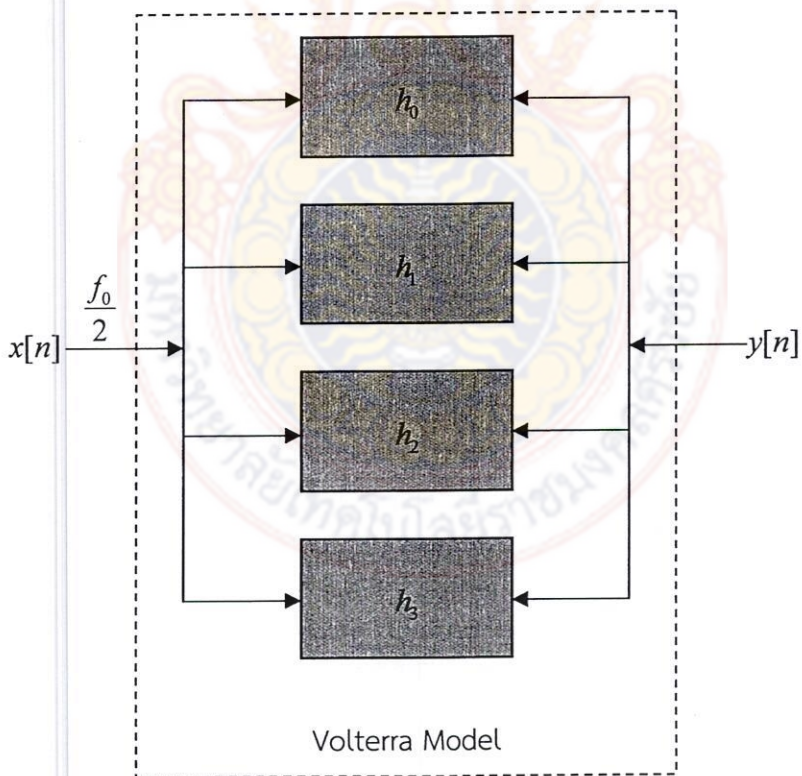
ในการอัลตราชาวด์แบบใช้สารเพิ่มความคมชัด การสร้างสัญญาณสะท้อนคลื่นอัลตราชาวด์โดยการใช้แบบจำลองทางคณิตศาสตร์ที่อธิบายพฤติกรรมการแพร่ของสารเพิ่มความคมชัดเมื่อถูกคลื่นอัลตราชาวด์ตกร่างกายเป้าหมายที่ต้องการตรวจสอบ เมื่อสารเพิ่มความคมชัดถูกคลื่นกระตุ้นจะมีพฤติกรรมสั่นแก่ไปตามค่าดัชนีเชิงลบของลูกคลื่น การแพร่ดังกล่าวจะมีความถี่สะท้อนกลับออกมากที่แตกต่างไปจากความถี่ในบริเวณเนื้อเยื่อใกล้เคียง แบบจำลองสมการทางคณิตศาสตร์ที่ใช้เป็นตัวแทนสารเพิ่มความคมชัดนี้ จะใช้สมการ Church [11] การจำลองแบบโดยการใช้โปรแกรม MATLAB สำหรับค่าพารามิเตอร์ต่างๆ ที่ใช้ดังรายละเอียดที่ได้ก่อตัวไว้แล้วในหัวข้อที่ 3.1 เมื่อได้รับผลจากการจำลองแบบพุติกรรมสัญญาณสะท้อนคลื่นอัลตราชาวด์เพื่อใช้เป็นสัญญาณต้นฉบับแล้ว จะทำการสร้างตัวแบบของสัญญาณนี้โดยการใช้สมการแบบจำลองโวลเทอรา ซึ่งความสามารถของสมการนี้จะทำการเลียนแบบพุติกรรมของสัญญาณต้นฉบับที่ได้โดยเป้าหมายการใช้แบบจำลองนี้เพื่อประโยชน์ในการนำมาประยุกต์ใช้เป็นตัวกรองความถี่ที่ต้องการ ซึ่งในที่นี้คือองค์ประกอบความถี่อัลตราชาาร์มอนิก

การสร้างตัวแบบด้วยแบบจำลองโวลเทอราที่ใช้กันโดยทั่วไป หรือระบบ SISO นั้น ไม่สามารถใช้ในการสร้างตัวแบบขององค์ประกอบอัลตราชาาร์มอนิกได้ เนื่องจากแบบจำลองมีความสามารถตอบสนองได้เฉพาะชาร์มอนิกที่เป็นเท่าตัว มีการนำเสนอใช้วิธีการ MISO โวลเทอรา นั้นคือใช้วิธีการนำสัญญาณอินพุทมาทำการแบ่งสัญญาณออกเป็นจำนวนครั้งละหนึ่งภายในการทำหากลักษณ์ของแบบจำลองก่อนที่จะนำมาร่วมกัน ซึ่งวิธีการดังกล่าวสามารถใช้สร้างตัวแบบองค์ประกอบชาาร์มอนิกได้อย่างไรก็ตาม วิธีนี้ไม่สามารถนำมาใช้ในการกรององค์ประกอบความถี่ได้ [10] งานวิจัยนี้นำเสนอวิธีการกระตุ้นความถี่ความถี่ครึ่งของสัญญาณอินพุท (Half-frequency input signal) ซึ่งวิธีดังกล่าว



จะสามารถสร้างตัวแบบและมีความในการนำไปประยุกต์ใช้สำหรับกรองความถี่ได้ การสร้างตัวแบบสัญญาณอัลตราชาวด้วยแบบจำลองโวลเทอราอันดับสาม ตั้งในสมการ (3-1) ซึ่งจะตอบสนองต่อองค์ประกอบอัลตราเจ้ามอนิกที่ต้องการ

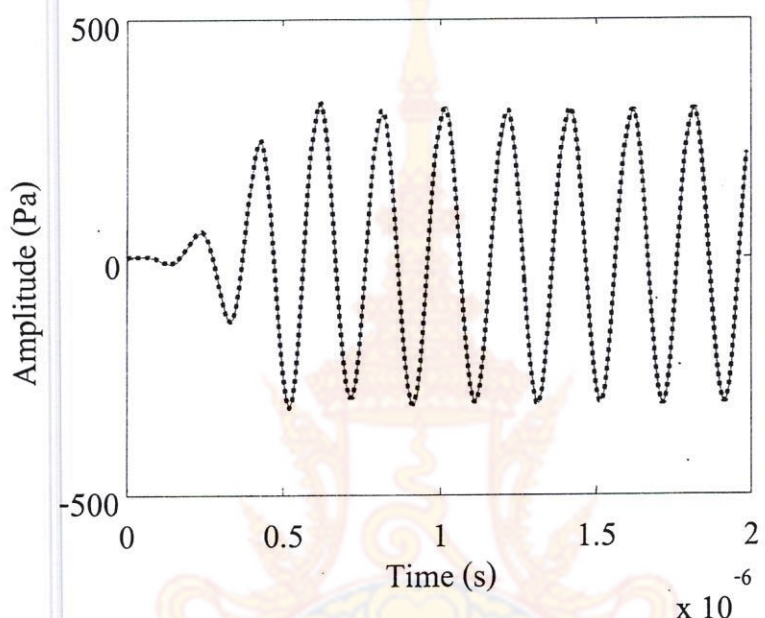
การหาผลตอบสนองจากการสร้างตัวแบบด้วยแบบจำลองโวลเทอรา ขั้นตอนแรกจะต้องทำการหาค่าเอกลักษณ์ของระบบก่อน สมการหาค่าเอกลักษณ์ของระบบสามารถที่จะหาได้ดังสมการที่ (3-7) ค่าเอกลักษณ์ที่ได้รับจะถูกนำไปคำนวณหาผลตอบสนองของระบบในสมการ (3-1) โครงสร้างการหาค่าเอกลักษณ์สำหรับการประมาณค่าเอาร์พุทเพื่อให้สามารถสร้างตัวแบบขององค์ประกอบความถี่ที่ต้องการสำหรับการประยุกต์ใช้สร้างภาพอัลตราชาวดนั้น โครงสร้างการหาค่าเอกลักษณ์โดยการใช้เทคนิคการกระตุ้นคริงความถี่ของสัญญาณอินพุท แสดงดังแสดงในรูปที่ 4-1 ดังนั้นผลตอบสนองเชิงเวลาที่ได้รับดังแสดงในรูปที่ 4-2 โดยเส้นหนาแทนด้วยสัญญาณสะท้อนคลื่น อัลตราชาวด์ต้นฉบับจากการคำนวณด้วยสมการ Church และเส้นประเทนสัญญาณตัวแบบจากสมการแบบจำลองโวลเทอราอันดับสาม ในรูปที่ 4-3 แสดงสัญญาณสะท้อนคลื่นอัลตราชาวด์ในเชิงความถี่ซึ่งสามารถคำนวณได้โดยสมการ (3-2) จากรูปจะเห็นได้ว่าสัญญาณประกอบไปด้วย



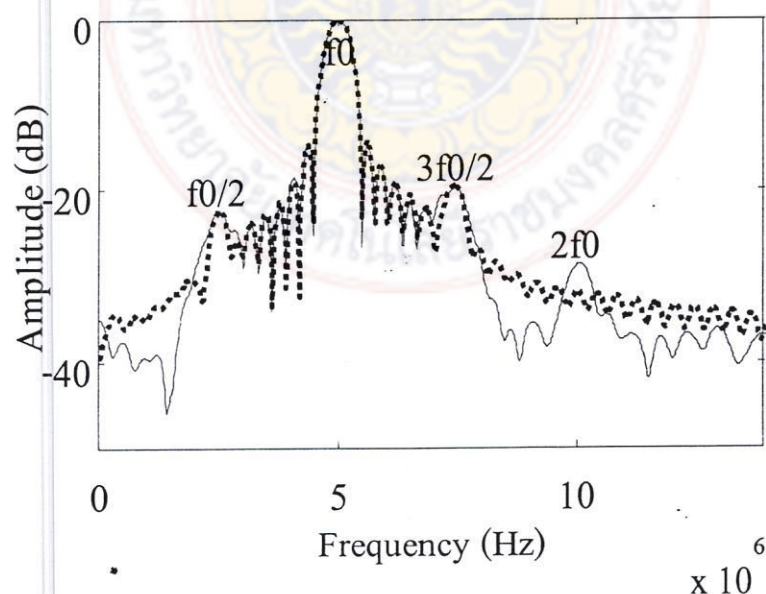
รูปที่ 4-1 โครงสร้างของการหาค่าเอกลักษณ์ระบบแบบจำลองโวลเทอราอันดับสามโดยการใช้เทคนิคการกระตุ้นคริงความถี่สัญญาณอินพุท



องค์ประกอบความถี่ชั้บชาร์มอนิกที่  $2.5 \text{ MHz}$  ( $f_0/2$ ), ความถี่มูลฐานที่  $5 \text{ MHz}$  ( $f_0$ ), ความถี่ ชาร์มอนิกที่  $7.5 \text{ MHz}$  ( $3f_0/2$ ) และความถี่ชาร์มอนิกที่สองที่  $10 \text{ MHz}$  ( $2f_0$ ) เมื่อถูกระดับด้วยความถี่อินพุทที่  $5 \text{ MHz}$  ( $f_0$ ) จากรูปที่ 4-2 และ 4-3 จะเห็นได้ว่าแบบจำลองสามารถทำนายผลได้อย่างแม่นยำทั้งในเชิงเวลาและเชิงความถี่



รูปที่ 4-2 ผลตอบสนองเชิงเวลาของสัญญาณสะท้อนคลื่นอัลตราซาวด์



รูปที่ 4-3 ผลตอบสนองความถี่ของสัญญาณสะท้อนคลื่นอัลตราซาวด์



## 4.2 การทดสอบความคงทนต่อสัญญาณรบกวนของระบบแบบจำลองโวลเทอรา

เพื่อแสดงให้เห็นถึงประสิทธิภาพของแบบจำลองโวลเทอราในการสร้างตัวแบบ ในส่วนนี้จะทำการทดสอบความคงทนของแบบจำลองที่ออกแบบมาในกรณีที่ถูกสัญญาณรบกวน โดยกำหนดให้ค่าระดับของสัญญาณต่อสัญญาณรบกวน (Signal-to-noise ratio: SNR) มีค่าเป็น 50, 40, 30, 20, 10 และ 5 dB บล็อกโดยจะกรรมของการจำลองยังคงเหมือนเดิมดังแสดงในรูปที่ 2-2 แต่ค่าระดับสัญญาณรบกวนจะปรับเปลี่ยนไปตามระดับดังที่กล่าวมา การวัดประสิทธิภาพของแบบจำลองนั้นคือวัดความค่าความถูกต้องของระบบในการประมาณค่าผลการคำนวณที่ระดับสัญญาณรบกวนที่ต่างกันโดยการวัดความถูกต้องของการคำนวณผลจะใช้ในเพื่อของค่าความผิดพลาดกำลังสองเฉลี่ยนอร์มอลizer (Normalized mean square error: NMSE) ซึ่งสามารถคำนวณได้จาก

$$NMSE = \left( \frac{\|y_{Volterra}(n) - y_{UCA}(n)\|^2}{\|y_{UCA}(n)\|^2} \right) \quad (4-1)$$

เมื่อ  $y_{UCA}(n)$  และ  $y_{Volterra}(n)$  คือสัญญาณเอาท์พุทของคลื่นสะท้อนอัตราชาวด้วยการเพิ่มความคงด้วยการคำนวณในสมการที่ (2-2) และสัญญาณเอาท์พุทจากแบบจำลองโวลเทอราอันดับสามจากการคำนวณในสมการที่ (3-1) ตามลำดับ

การสร้างตัวแบบด้วยแบบจำลองโวลเทอราอันดับสามใช้ความยาวตัวกรอง  $N = 40$  รูปที่ (4-4) แสดงผลเปรียบเทียบระหว่างสัญญาณจาก  $y_{UCA}(n)$  และ  $y_{Volterra}(n)$  ที่ SNR = 50 dB โดยเส้นหนาแทน  $y_{UCA}(n)$  และเส้นประแทน  $y_{Volterra}(n)$  ตามลำดับ ในรูปที่ (4-4)a แสดงผลตอบสนองเชิงเวลา และในรูป (4-4)b แสดงผลตอบสนองเชิงความถี่ จะเห็นการประมาณค่าของแบบจำลองโวลเทอรามีความแม่นยำที่ดี คำนวณค่า NMSE เท่ากับ -18.91 dB รูปที่ (4-5) แสดงผลการทำนายเมื่อระดับ SNR = 40 dB ผลการทำนายค่าของแบบจำลองยังคงมีความแม่นยำ คำนวณค่า NMSE เท่ากับ -18.35 dB สูงขึ้นเล็กน้อยเมื่อเทียบกับที่ SNR = 50 dB รูปที่ (4-6) แสดงผลการทำนายเมื่อระดับ SNR = 30 dB คำนวณค่า NMSE เท่ากับ -15.66 dB รูปที่ (4-7) แสดงผลการทำนายเมื่อระดับ SNR = 20 dB คำนวณค่า NMSE เท่ากับ -11.15 dB รูปที่ (4-8) แสดงผลการทำนายเมื่อระดับ SNR = 10 dB คำนวณค่า NMSE เท่ากับ -6.34 dB และ รูปที่ (4-9) แสดงผลการทำนายเมื่อระดับ SNR = 5 dB คำนวณค่า NMSE เท่ากับ -4.34 dB ซึ่งมีความสูงสุดเมื่อเทียบกับทุกระดับ SNR ที่ผ่านมา ในรูป (4-9)a การประมาณค่าจะมีความแม่นยำที่ดีในช่วง  $0 \leq t \leq 1 \mu s$  รูป (4-9)b การทำนายผลของแบบจำลองในเชิงความถี่ สามารถทำนายได้ถูกต้อง จะเห็นได้ว่าแบบจำลองสามารถจับองค์ประกอบความถี่อยู่ได้ทั้งชั้บ ayrilmnik และ อัตราสารมอนิก ซึ่งแสดงให้เห็นถึง

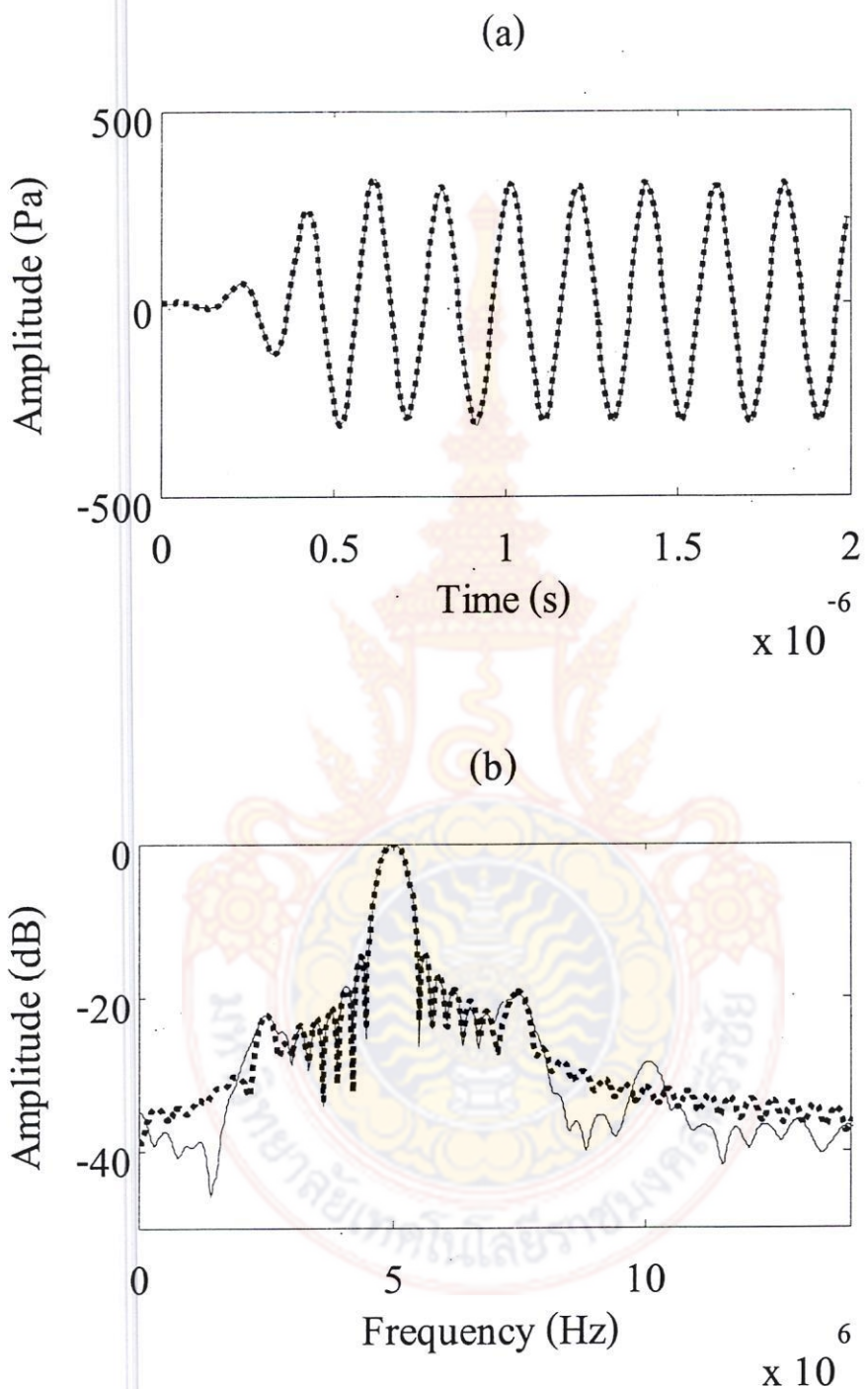


ความสามารถคงทนต่อสัญญาณรบกวนได้เป็นอย่างดี นี้จะเป็นข้อดีของแบบจำลองโวลเทอราที่เหนือกว่าตัวกรองเทคนิคที่ใช้แบบเชิงเส้น การเปรียบเทียบผลการทำงานค่า NMSE ระหว่างสัญญาณสะท้อนอัลตร้าซาวด์ต้นฉบับและแบบจำลองโวลเทอราที่ระดับ SNR แตกต่างกัน สรุปได้ดังตาราง 4-1

ตาราง 4-1 ค่า NMSE ของการประมาณค่าโดยแบบจำลองโวลเทอราอันดับสาม ที่ระดับ SNR แตกต่างกัน [17]

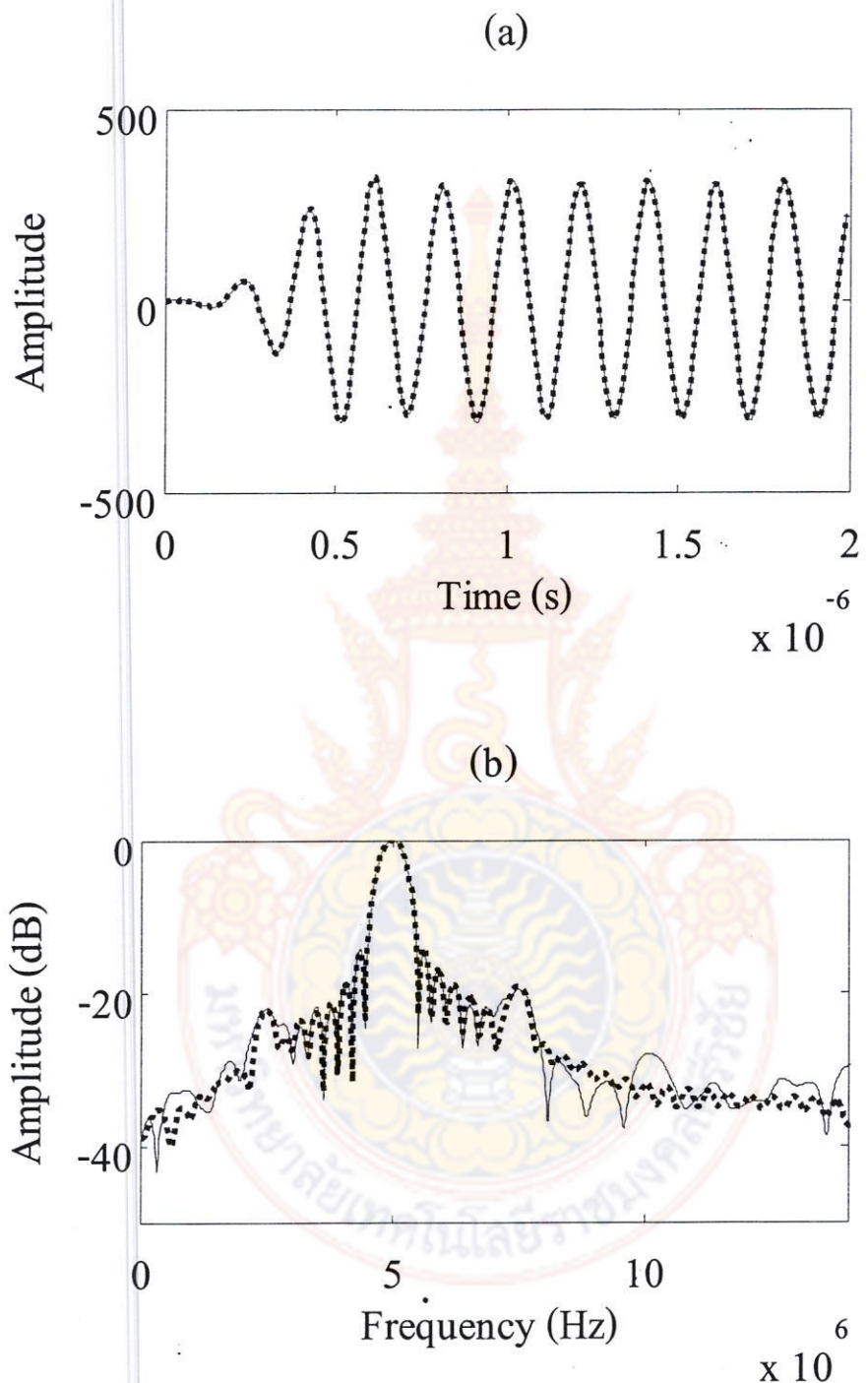
SNR (dB)	NMSE (dB)
50	-18.91
40	-18.35
30	-15.66
20	-11.15
10	-6.34
5	-4.34





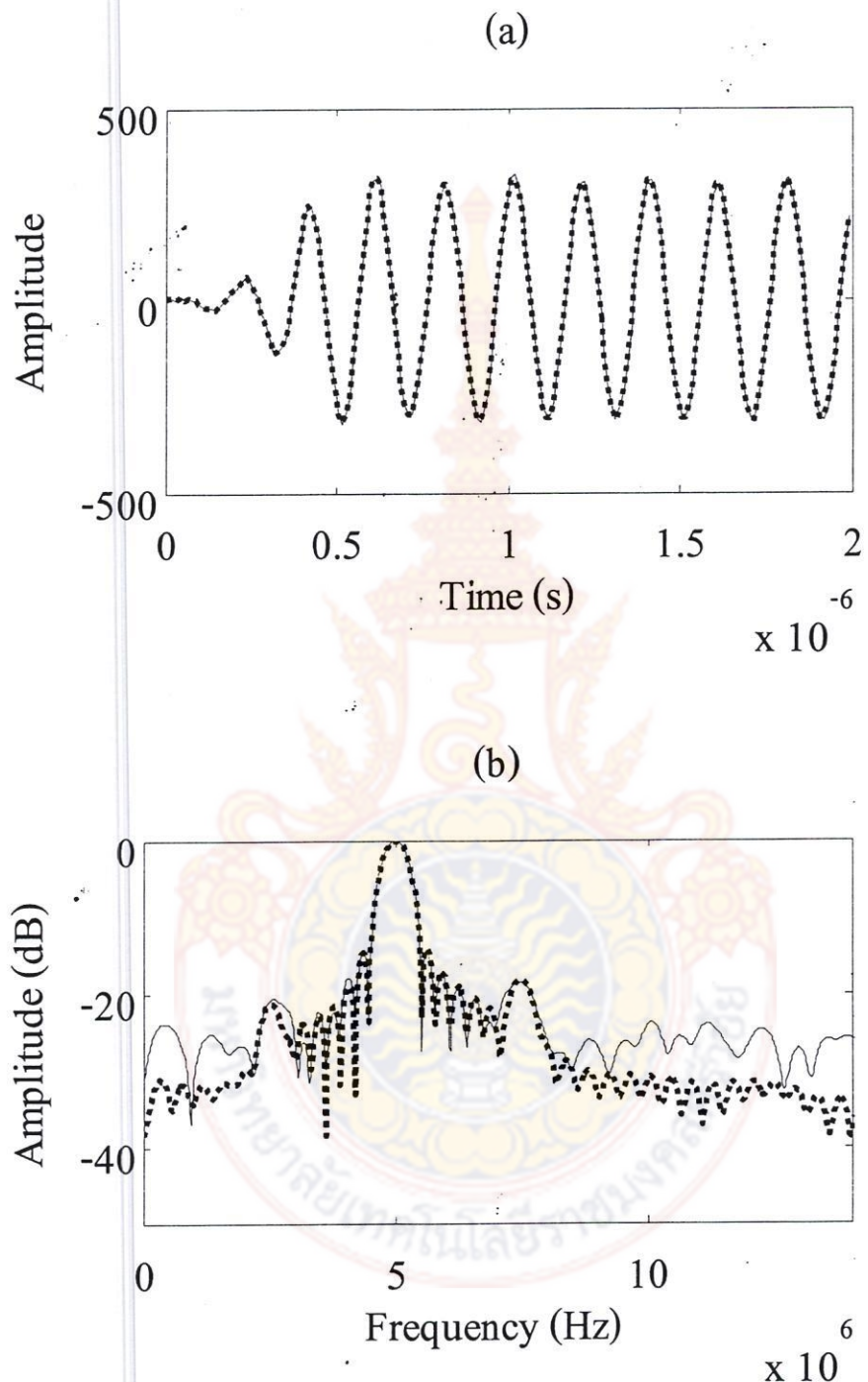
รูปที่ 4-4 ผลตอบสนองจากแบบจำลองที่ระดับ SNR = 50 dB (a) โดเมนเวลา (b) โดเมนความถี่





รูปที่ 4-5 ผลตอบสนองจากแบบจำลองที่ระดับ SNR = 40 dB (a) โดเมนเวลา (b) โดเมนความถี่





รูปที่ 4-6 ผลตอบสนองจากแบบจำลองที่ระดับ SNR = 30 dB (a) โดเมนเวลา (b) โดเมนความถี่



Journal of the Royal Institute of Technology  
Volume 10 Number 1, 1962

Editor: Lars-Göran Sjöstrand  
Editorial Office: Royal Institute of Technology, Stockholm, Sweden

Subscription: 100 kr. per volume (4 issues). Subscriptions should be sent to the Royal Institute of Technology, Stockholm, Sweden.

Advertisement: 100 kr. per page. Advertisements should be sent to the Royal Institute of Technology, Stockholm, Sweden.

Postage: 100 kr. per volume. Postage should be paid by the subscriber.

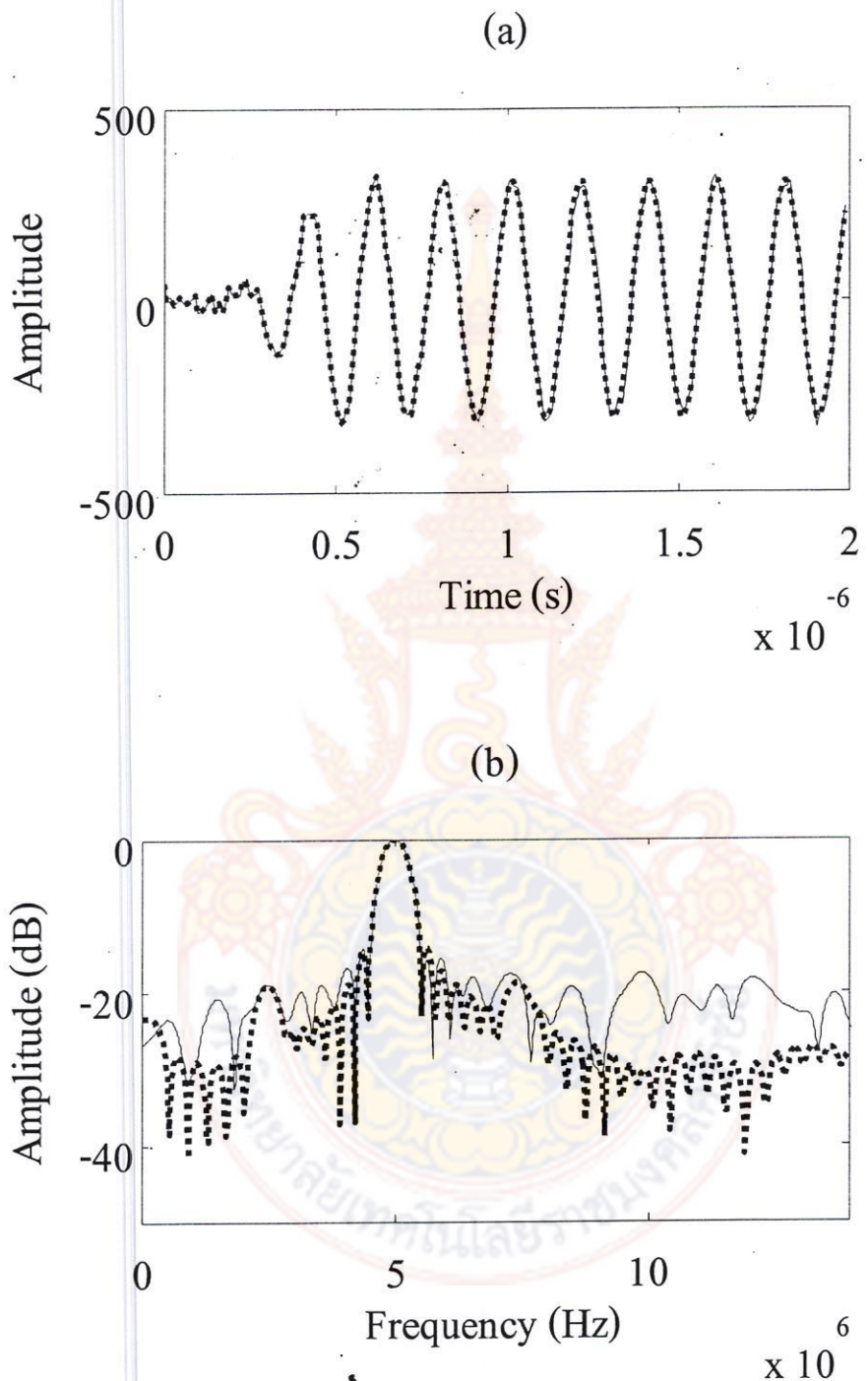
Delivery: The journal will be delivered to the Royal Institute of Technology, Stockholm, Sweden.

Change of address: Please send a change of address to the Royal Institute of Technology, Stockholm, Sweden.

Subscription: 100 kr. per volume (4 issues). Subscriptions should be sent to the Royal Institute of Technology, Stockholm, Sweden.

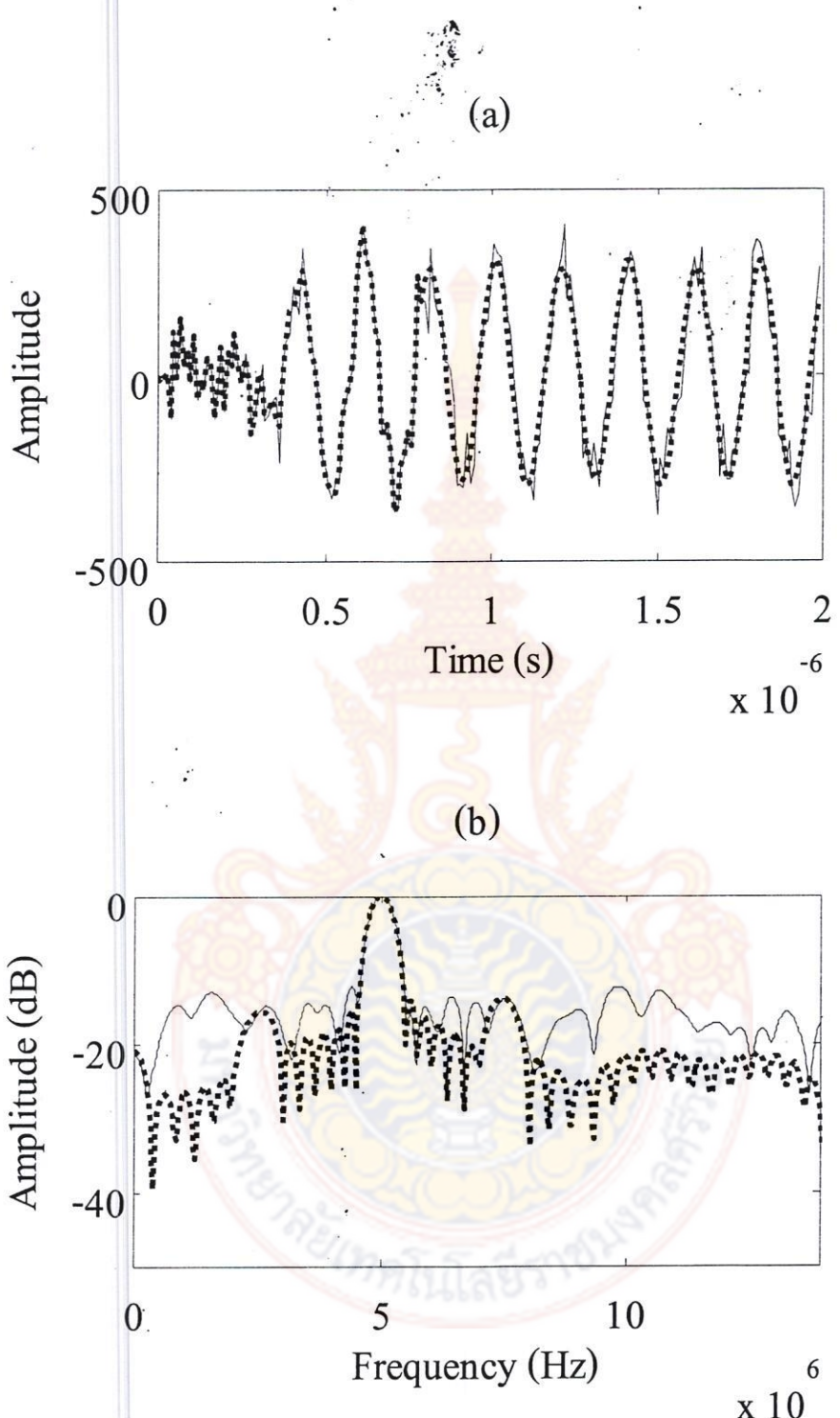
Advertisement: 100 kr. per page. Advertisements should be sent to the Royal Institute of Technology, Stockholm, Sweden.

Postage: 100 kr. per volume. Postage should be paid by the subscriber.



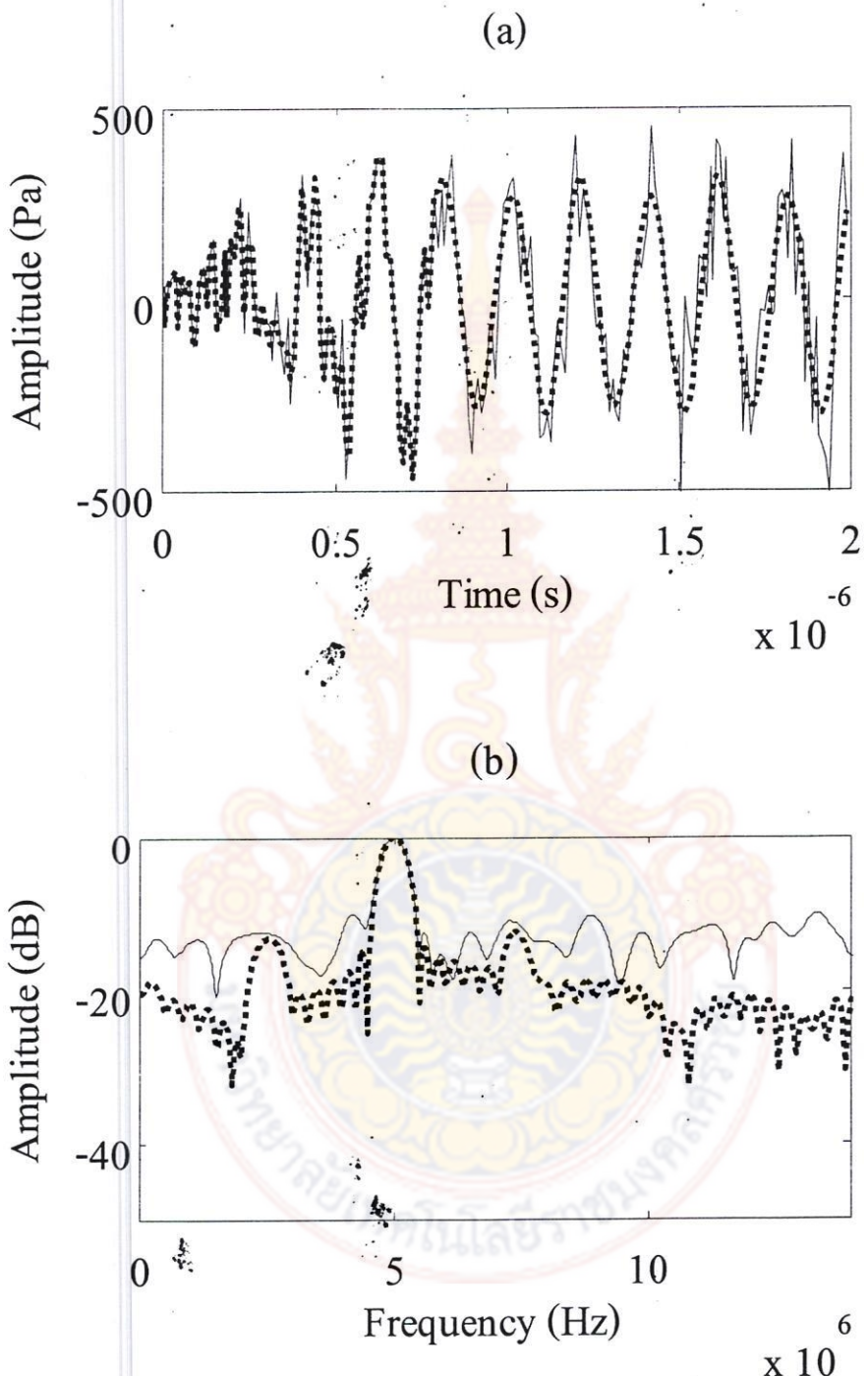
รูปที่ 4-7 ผลตอบสนองจากแบบจำลองที่ระดับ SNR = 20 dB (a) โดเมนเวลา (b) โดเมนความถี่





รูปที่ 4-8 ผลตอบสนองจากแบบจำลองที่ระดับ SNR = 10 dB (a) โดเมนเวลา (b) โดเมนความถี่





รูปที่ 4-9 ผลตอบสนองจากแบบจำลองที่ระดับ SNR = 5 dB (a) โดเมนเวลา (b) โดเมนความถี่



### 4.3 ผลตอบสนองเชิงความถี่ของค่าเอกลักษณ์

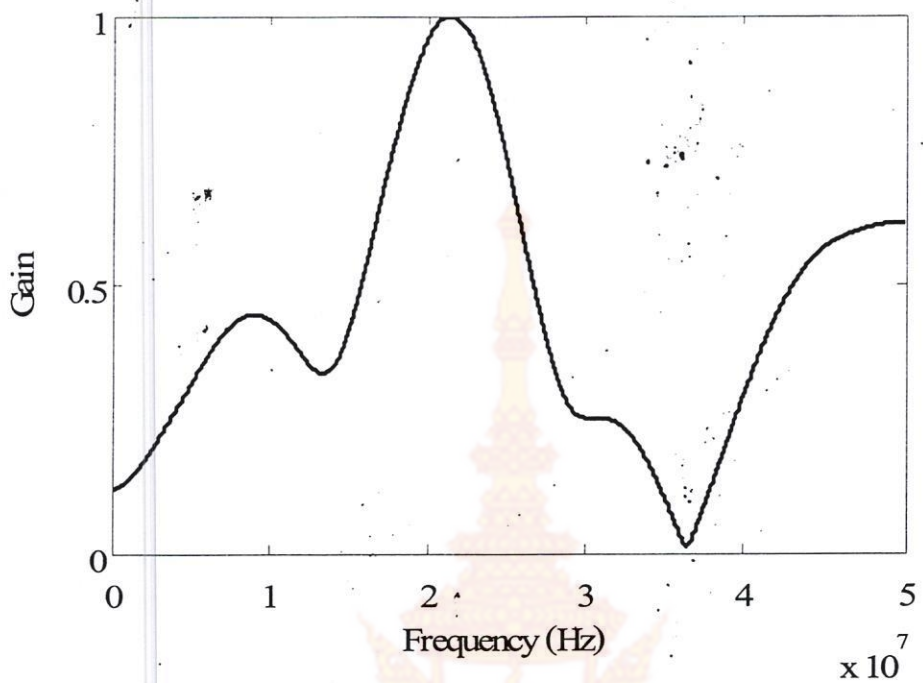
กระบวนการหาค่าเอกลักษณ์สามารถหาได้โดยเริ่มต้นจากการจำลองแบบหาพุทธิกรรมการแก่วงโดยสมการ (2-1) สำหรับการนำเสนอองค์ประกอบอัลตราหาร์มอนิก หลังจากนั้นนำสัญญาณที่ได้รับมาหาเอกลักษณ์ของระบบ การหาค่าเอกลักษณ์เป็นส่วนแรกของการสร้างตัวแบบเพื่อจำลองพุทธิกรรมของสัญญาณสะท้อนคลื่นอัลตราชาวด์ ตัวแบบที่ใช้นี้คือแบบจำลองโวลเทอราอันดับสามดังแสดงในสมการ (3-1) ซึ่งขั้นตอนการสร้างตัวแบบจะต้องทำการหาค่าเอกลักษณ์ของระบบก่อนรายละเอียดของการห้าค่าเอกลักษณ์ดังที่ได้อธิบายในหัวข้อ 3.3 ในส่วนนี้เราจะนำค่าเอกลักษณ์ที่หาได้ซึ่งอยู่ในรูปของโอดเมนเวลา มาวิเคราะห์ในโอดเมนความถี่เพื่อพิจารณาประสิทธิภาพความสามารถในการนำมาประยุกต์ใช้เพื่อกรองความถี่องค์ประกอบอัลตราหาร์มอนิกสำหรับปรับปรุงคุณภาพของภาคอัลตราชาวด์ ผลลัพธ์จากการประมาณค่าเอกลักษณ์ของแบบจำลองโวลเทอราประกอบด้วยค่าเอกลักษณ์ในเทอมของอันดับหนึ่ง (First-order), อันดับสอง (Second-order) และอันดับสาม (Third-order) การหาผลตอบสนองในเชิงความถี่ของค่าเอกลักษณ์ หาได้จากการแก้สมการ

$$H_i(f_1, \dots, f_i) = \sum_{k_1=0}^{M-1} \cdots \sum_{k_i=0}^{M-1} h_i(k_1, k_2, \dots, k_i) \times e^{-(j \frac{2\pi}{M} k_1 p + \dots + j \frac{2\pi}{M} k_i p)} \quad (4-2)$$

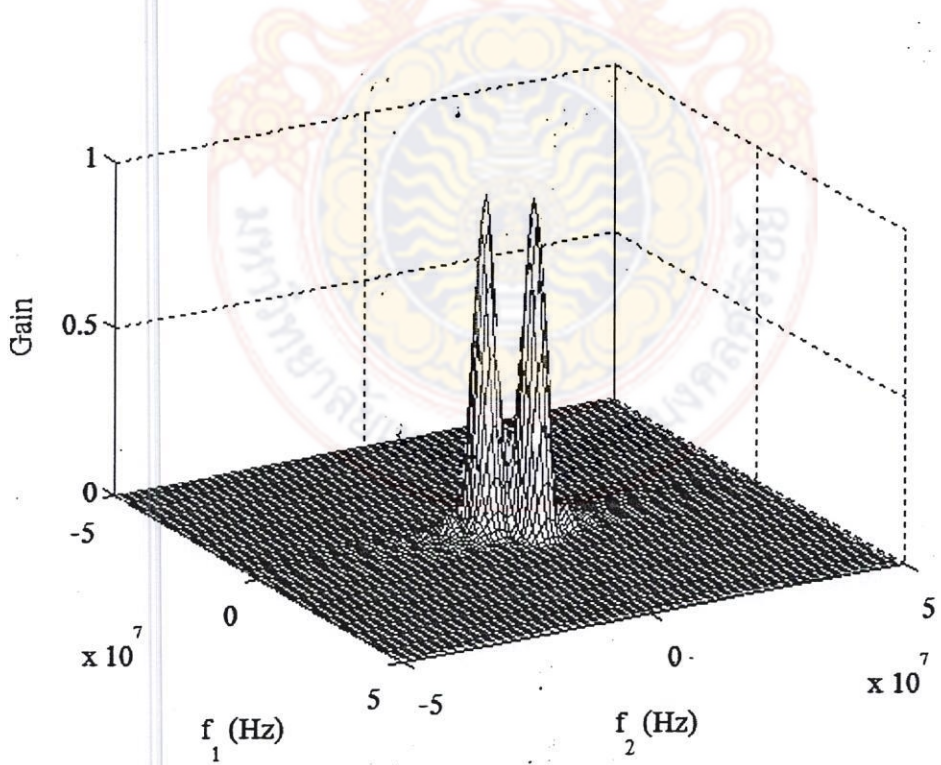
เมื่อ  $h_i(k_1, k_2, \dots, k_i)$  คือค่าเอกลักษณ์ในเชิงเวลาของอันดับต่างๆ โดย  $i$  แทนตัวชี้อันดับของแบบจำลอง  $M$  แทนจำนวนความยาวตัวกรอง และ  $p = 0, 1, \dots, N-1$

รูปที่ 4-10 แสดงผลตอบสนองเชิงความถี่ของค่าเอกลักษณ์เทอมอันดับหนึ่ง แทนด้วย  $H_1$  จากรูปจะเห็นว่าการตอบสนองสูงสุดที่  $22 \text{ MHz}$  อีกต่อไปตามที่มีการตอบสนองเล็กน้อยบางความถี่ เช่นที่  $1 \text{ MHz}$  รูปที่ 4-11 แสดงผลตอบสนองเชิงความถี่ของค่าเอกลักษณ์เทอมอันดับสอง แทนด้วย  $H_2$  จากรูปจะเห็นได้ว่าค่าเอกลักษณ์สามารถตอบสนองความถี่อย่างชัดเจนรอบๆ  $(5, 5)$  และ  $(-5, -5) \text{ MHz}$  ซึ่งแสดงให้เห็นว่า  $H_2$  สามารถในการสร้างตัวแบบของความถี่มูลฐาน  $f_0$  ของสัญญาณสะท้อนคลื่นอัลตราชาวด์ที่  $5 \text{ MHz}$  ได้ ซึ่งความถี่นี้คือความถี่ที่สะท้อนมาจากเนื้อเยื่อเช่นเดียวกัน นั้นคือจะสามารถนำมาประยุกต์ใช้ในการกรองความถี่ได้ รูปที่ 4-12 แสดงผลตอบสนองเชิงความถี่ของค่าเอกลักษณ์เทอมอันดับสาม แทนด้วย  $H_3$  จากรูปผลตอบสนองความถี่ชัดเจนที่ความถี่  $7.5 \text{ MHz}$  (ความถี่อัลตราหาร์มอนิก) นอกจากนี้มีการตอบสนองไม่มากนักที่ความถี่รอบๆ  $2.5 \text{ MHz}$  (ความถี่ชั้บหาร์มอนิก) จากผลตอบสนองความถี่ที่ได้นี้แสดงให้เห็นว่า  $H_3$  มีความสามารถที่เป็นไปได้ในการนำไปประยุกต์ใช้สำหรับการกรองความถี่อัลตราหาร์มอนิกนิก อีกต่อไปตามที่มีการตอบสนองปริมาณเล็กน้อยของความถี่ชั้บหาร์มอนิก อาจมีความเป็นไปได้ที่จะมีองค์ประกอบนี้แฝงเข้ามาด้วย [19]



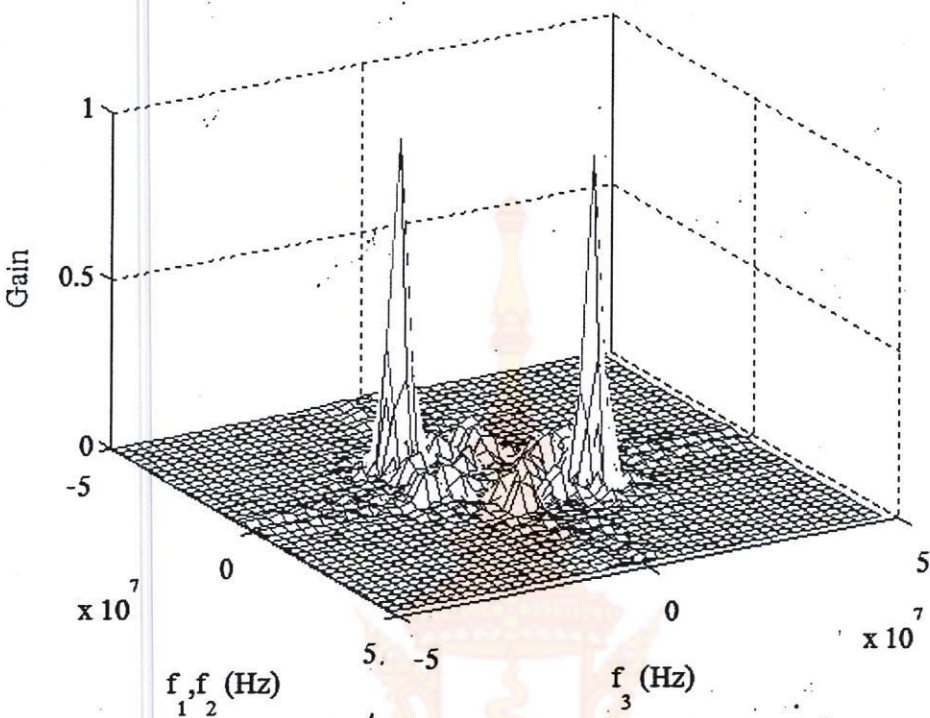


รูปที่ 4-10 ผลตอบสนองเชิงความถี่ของค่าเอกลักษณ์อันดับที่หนึ่ง ( $H_1$ )



รูปที่ 4-11 ผลตอบสนองเชิงความถี่ของค่าเอกลักษณ์อันดับที่สอง ( $H_2$ )





รูปที่ 4-12 ผลตอบสนองเชิงความถี่ของค่าเอกลักษณ์อันดับที่สาม ( $H_3$ )

#### 4.4 สรุป

ในบทนี้แสดงผลการจำลองแบบและสร้างตัวแบบของสัญญาณสะท้อนคลื่นอัลตราชาวด์ ดังรายละเอียดที่ได้กล่าวไว้ในบทที่ 3 ผลการการจำลองแบบตัวแทนสัญญาณสะท้อนคลื่นอัลตราชาวด์ จากสารเพิ่มความคมชัดโดยการใช้แบบจำลองสมการ (2-1) ผลลัพธ์เป็นไปตามทฤษฎี นั้นคือเมื่อผลตอบสนององค์ประกอบความถี่ที่ได้รับประกอบด้วย ความถี่ชั้บไฮร์มอนิก 2.5 MHz, ความถี่มูลฐาน 5 MHz, ความถี่อัลตราไฮร์มอนิก 7.5 MHz และความถี่ไฮร์มอนิกที่สอง 10 MHz เมื่อใช้คลื่นกระตุ้นที่ความถี่ 5 MHz จากนั้นนำสัญญาณที่ได้ไปทำการสร้างตัวแบบด้วยแบบจำลองโวลเทอรา อันดับสามโดยการใช้เทคนิคการกระตุ้นความถี่ครึ่งหนึ่งของสัญญาณอินพุท ผลที่ได้ระบบสามารถสร้างตัวแบบเป็นไปตามที่ต้องการได้นั้นคือระบบแบบจำลองสามารถจับความถี่ความถี่ชั้บไฮร์มอนิก 2.5 MHz, ความถี่มูลฐาน 5 MHz และความถี่อัลตราไฮร์มอนิก 7.5 MHz ซึ่งเป็นองค์ประกอบความถี่ที่เราสนใจ การพิจารณาผลตอบสนองความถี่ของค่าเอกลักษณ์ของระบบความถี่อัลตราไฮร์มอนิกจะตอบสนองความถี่โดยค่าเอกลักษณ์ใหม่อันดับสาม  $H_3$  อย่างไรก็ตามการพิจารณาเฉพาะผลตอบสนองความถี่ของกรณี  $H_3$  อาจไม่เพียงพอว่าสามารถใช้ในการกรองได้เฉพาะความถี่



มหาวิทยาลัยเทคโนโลยีราชมงคลธัญบุรี

อัลตราไฮมอนิก เนื่องจากมีการตอบสนองความถี่อื่นๆ ปริมาณไม่มากปนเข้ามาด้วย ดังอาจ  
จำเป็นต้องวิเคราะห์เพิ่มเติมในฟังก์ชันการถ่ายโอนเพิ่มเติมเพื่อพิจารณาผลตอบสนองเชิงความถี่ที่  
ซัดเจนขึ้น





มหาวิทยาลัยเทคโนโลยีราชมงคลรัตนโกสินทร์

## บทที่ 5

### การวิเคราะห์ผลตอบสนองความถี่ของฟังก์ชันถ่ายโอนในแบบจำลองโวเทอราสำหรับ สร้างตัวแบบองค์ประกอบอัลตราไฮร์มอนิก

ในบทที่ 4 ที่ผ่านมา เราได้แสดงผลการจำลองแบบสัญญาณสะท้อนอัลตราชาวด์ของ องค์ประกอบอัลตราไฮร์มอนิกและสร้างตัวแบบโดยการใช้แบบจำลองโวเทอรา ในการหา ผลตอบสนองเชิงความถี่ของค่าเอกลักษณ์ที่ได้รับในแบบจำลองโวเทอราเพื่อพิจารณาศักยภาพ สำหรับการนำไปประยุกต์ใช้สำหรับการกรององค์ประกอบความถี่อัลตราไฮร์มอนิก พบว่าการ พิจารณาในผลตอบสนองเชิงความของค่าเอกลักษณ์ยังไม่เพียงต่อการตัดสินใจ โดยเฉพาะในค่า เอกลักษณ์อันดับสามที่ใช้สำหรับการกรององค์ประกอบอัลตราไฮร์มอนิก ในบทนี้เราจะพิจารณา เพิ่มเติมเพื่อหาผลเฉลยสำหรับการนำไปประยุกต์ใช้กับการกรององค์ประกอบอัลตราไฮร์มอนิก โดย จะพิจารณาในผลตอบสนองเชิงความถี่ของฟังก์ชันการถ่ายโอน

#### 5.1 แบบจำลองโวเทอราและการแยกองค์ประกอบอัลตราไฮร์มอนิก

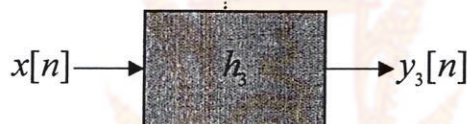
เป็นที่ทราบกันดีว่าแบบจำลองโวเทอราที่ใช้กันอยู่โดยทั่วไปหรือที่เรียกว่าแบบ SISO นั้น มี ข้อจำกัดในการใช้สำหรับจำลองแบบองค์ประกอบอัลตราไฮร์มอนิก เพื่อให้สามารถจำลองแบบได้ ใน งานวิจัยนี้เราดำเนินการใช้เทคนิคการกระตุนความถี่ครึ่งหนึ่งของสัญญาณอินพุท ซึ่งวิธีการดังกล่าว นี้มีความสามารถจำลองแบบองค์ประกอบอัลตราไฮร์มอนิกได้ อย่างไรก็ตามเราไม่ได้ใช้ประโยชน์เฉพาะ การจำลองดังกล่าว แต่เราจะพิจารณาการประยุกต์ใช้แบบจำลองนี้เพื่อการกรององค์ประกอบความถี่ ขององค์ประกอบอัลตราไฮร์มอนิก ใน การประยุกต์ใช้แบบจำลองโวเทอราสำหรับการกรอง องค์ประกอบความถี่นั้น สามารถใช้การแยกส่วนของอันดับต่างๆ นั้นคือผลคูณระหว่างค่าเอกลักษณ์ ของระบบในอันดับนั้นๆ กับสัญญาณอินพุท ดังนั้นการพิจารณาผลตอบสนองเชิงความถี่ของค่า เอกลักษณ์ในบทที่ 4 ที่ผ่านมาจะทำให้ทราบได้ว่าแต่ละเทอมนั้น (อันดับหนึ่ง สูง และสาม) มี ความสามารถที่จะให้ความถี่ได้ผ่านได้ อย่างไรก็ตามผลการจำลองในบทที่ 4 ที่ผ่านมานั้น การ พิจารณาผลตอบสนองเชิงความถี่ของค่าเอกลักษณ์ยังไม่เพียงพอต่อการพิจารณาสำหรับการ ประยุกต์ใช้เป็นตัวกรองแยกองค์ประกอบอัลตราไฮร์มอนิก ในบทนี้เราจะพิจารณาเพิ่มเติมใน ผลตอบสนองเชิงความถี่ของฟังก์ชันการถ่ายโอนของแบบจำลองโวเทอราอันดับสาม แบบจำลองโว



เทอราที่ใช้นั้น เป็นไปตามสมการที่ (3-1) ของบทที่ 3 ผลตอบสนองรวมของเอาท์พุทของแบบจำลองโวลเทอราอันดับสาม สามารถเขียนได้ดังสมการจาก

$$y_t[n] = y_1[n] + y_2[n] + y_3[n] \quad (5-1)$$

เมื่อ  $y_1[n]$  แทนผลตอบสนองรวมของแบบจำลองอันดับที่หนึ่ง,  $y_2[n]$  แทนผลตอบสนองรวมของแบบจำลองอันดับที่สอง และ  $y_3[n]$  แทนผลตอบสนองรวมของแบบจำลองอันดับที่สาม จากผลการจำลองแบบที่ผ่านมานั้น พบว่าผลตอบสนองขององค์ประกอบอัลตราชาต้มอนิกนั้นจะตอบสนองในระบบแบบจำลองโวลเทอราที่อันดับสาม ดังนั้นการพิจารณาประยุกต์สำหรับการกรองความถี่นี้จำเป็นต้องพิจารณาในส่วนของฟังก์ชันการถ่ายโอนอันดับที่สาม บล็อกໄ/doe แกรมของการแยกองค์ประกอบอัลตราชาต้มอนิกด้วยการใช้ฟังก์ชันการถ่ายโอนอันดับที่สาม แสดงดังรูปที่ 5-1



รูปที่ 5-1 การแยกองค์ประกอบความถี่สัญญาณสะท้อนคลื่นอัลตราชาวด์ด้วยค่าเอกลักษณ์อันดับที่สามสำหรับองค์ประกอบอัลตราชาต้มอนิก

สมการความสัมพันธ์ระหว่างอินพุตและค่าเอกลักษณ์ตัวกรองอันดับที่สาม สามารถเขียนได้ด้วยสมการ

$$y_3[n] = \sum_{k_1=0}^{N-1} \sum_{k_2=0}^{N-1} \sum_{k_3=0}^{N-1} h_3[k_1, k_2, k_3] x[n - k_1] x[n - k_2] x[n - k_3] \quad (5-2)$$

ผลตอบสนองเชิงความถี่ของสมการ (5-2) หากได้จากการแปลงฟูเรียร์ของ  $y_3[n]$  สามารถเขียนได้ดังสมการ

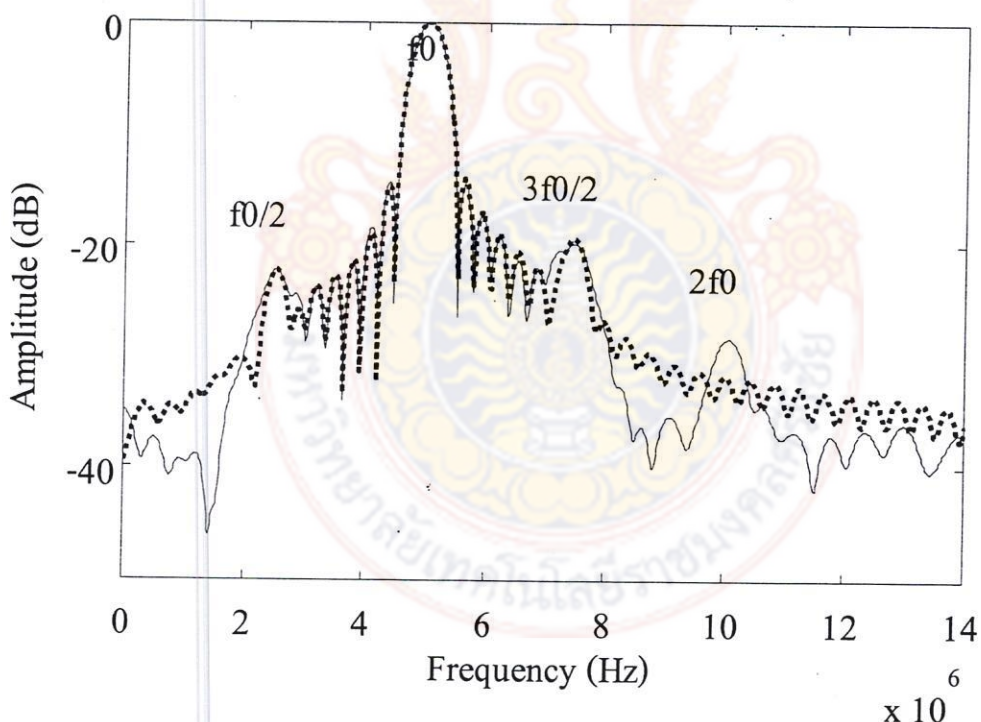
$$Y_3(f) = \sum_{n=0}^{M-1} y_3[n] e^{-j2\pi fn/M} \quad (5-3)$$



เมื่อ  $M$  คือจำนวนความยาวของลำดับอินพุท และ  $p$  แทนตัวชี้จำนวนลำดับมีค่าเท่ากับ  $p = 0, 1, \dots, M - 1$

## 5.2 ผลการจำลองและวิเคราะห์ผล

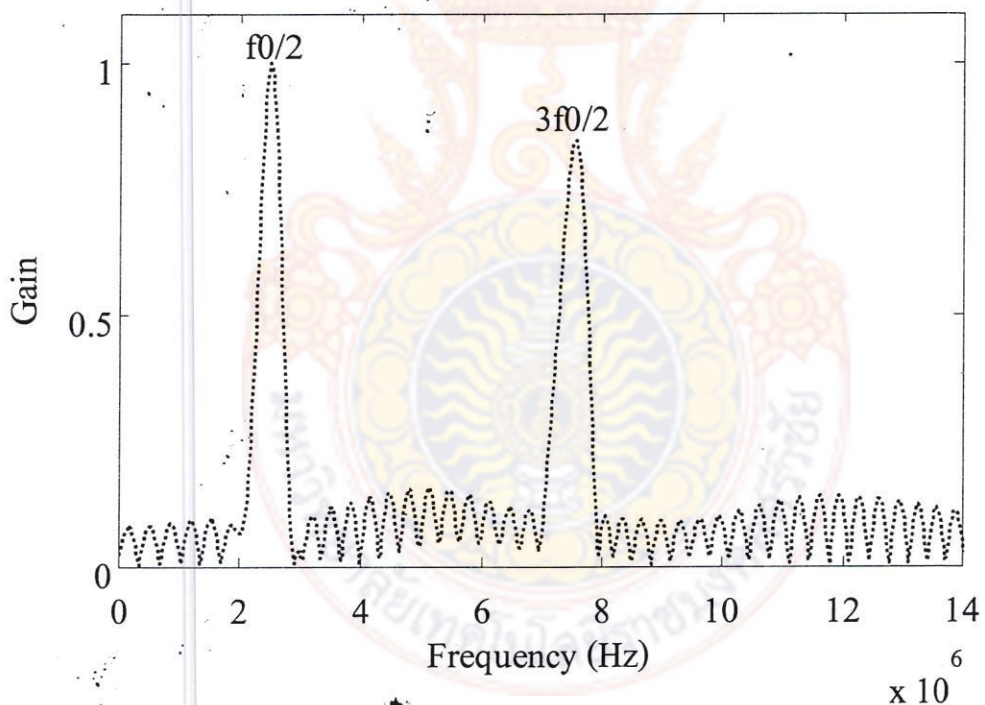
รูปที่ 5-2 แสดงสเปกตรัมของสัญญาณสะท้อนคลื่นอัลตราซาวด์จากสารเพิ่มความคมชัด ซึ่งจะแสดงผลเพื่อเปรียบเทียบให้เห็นถึงการแยกส่วนความถี่ โดยการใช้สมการ (5-3) เส้นหนาแทนสเปกตรัมที่ได้จากการตัวแทนพุติกรรมไม่เป็นเชิงเส้นสารเพิ่มความคมชัด และเส้นประแท่นสเปกตรัมที่ได้รวมของแบบจำลองไว้เลเทอร์อันดับสาม คุณลักษณะทางความถี่ประกอบด้วย ความถี่ฐานที่  $f_0 = 5 \text{ MHz}$ , ความถี่ชั้บยาร์มอนิกที่  $f_0/2 = 2.5 \text{ MHz}$ , ความถี่อัลตราชาร์มอนิกที่  $3f_0/2 = 7.5 \text{ MHz}$  และความถี่ชาร์มอนิกที่สอง  $2f_0 = 10 \text{ MHz}$ .



รูปที่ 5-2 สเปกตรัมสัญญาณสะท้อนคลื่นอัลตราซาวด์จากสมการ Church และสมการไว้เลเทอร์



ในงานวิจัยนี้เราสนใจการดึงคุณลักษณะขององค์ประกอบอัลตราชาวด์สำหรับปรับปรุงคุณภาพของภาพอัลตราชาวด์ การดึงคุณลักษณะดังกล่าวที่สามารถหาได้โดยสมการ (5-2) ผลจากการคำนวณสมการนี้ และนำมาหาผลตอบสนองเชิงความถี่ด้วยสมการ (5-3) จะได้คุณลักษณะของสเปกตรัมสัญญาณที่แยกสัญญาณสะท้อนคลื่นอัลตราชาวด์ออกมา ดังแสดงในรูปที่ 5-3 จากรูปนี้จะเห็นได้อย่างชัดเจนว่าผลตอบสนองรวมของแบบจำลองอันดับที่สาม ( $y_3[n]$ ) มีความสามารถในการกำจัดองค์ประกอบความถี่มูลฐานหรือความถี่ที่สะท้อนจากบริเวณเนื้อเยื่อโดยรอบ ซึ่งถือได้ว่าเป็นที่ดีแต่อย่างไรก็ตามยังมีองค์ประกอบชับชา辱มอนิกร่วมอยู่ด้วย ซึ่งในเบื้องของการปรับปรุงคุณภาพของภาพอัลตราชาวด์ในกรณีถือได้ว่าเป็นข้อดีในการเพิ่มค่าความคมชัดของภาพ (ค่า CTR) แต่อย่างไรก็ตาม การกรองเฉพาะองค์ประกอบอัลตราชา辱มอนิกจะเป็นต้องเพิ่มขั้นตอนวิธีสำหรับการกำจัดองค์ประกอบชับชา辱มอนิกออกไป



รูปที่ 5-3 ผลตอบสนองความถี่ฟังก์ชันการถ่ายโอนในระบบแบบจำลองโวลเทอร่าอันดับสาม



### 5.3 สรุป

ในบทนี้เป็นการวิเคราะห์เพิ่มเติมความสามารถของแบบจำลองโวลเทอราอันดับสามสำหรับการกรองสัญญาณสะท้อนคลื่นอัลตราซาวด์ การวิเคราะห์ความสามารถในการกรององค์ประกอบอัลตรา;yาร์มอนิกโดยการใช้การแยกส่วนผลตอบสนองรวมของแบบจำลองอันดับที่สามหรือผลตอบสนองฟังก์ชันการถ่ายโอนอันดับสาม ผลตอบสนองเชิงความถี่ที่ได้รับจากฟังก์ชันนี้มีความสามารถตอบสนองทั้งองค์ประกอบชั้บยาร์มอนิกและอัลตรา;yาร์มอนิก โดยแบบจำลองอันดับสามนี้มีความสามารถกำจัดองค์ประกอบมูลฐานนั้นคือสัญญาณที่สะท้อนกลับมาจากบริเวณเนื้อเยื่อได้แต่การกรองเฉพาะองค์ประกอบอัลตรา;yาร์มอนิกจำเป็นต้องเพิ่มวิธีกำจัดองค์ประกอบชั้บยาร์มอนิก





## บทที่ 6

### สรุปผลและข้อเสนอแนะ

#### 6.1 บทสรุป

งานวิจัยนี้เป็นการนำเสนอเทคนิคการสร้างตัวแบบสำหรับแยกองค์ประกอบความถี่อัลตราซาวด์อนิกเพื่อปรับปรุงความคมชัดของภาพอัลตราชาวด์ คุณลักษณะทางความถี่ของสัญญาณสะท้อนคลื่นอัลตราชาวด์กำเนิดจากตัวส่งคลื่นอัลตราชาวด์ไปยังสารเพิ่มความคมชัดซึ่งอยู่ในเนื้อเยื่อด้วยรอบ สัญญาณสะท้อนกลับด้วยคุณลักษณะไม่เป็นเชิงเส้นประกอบด้วย องค์ประกอบความถี่มูลฐาน ( $f_0$ ), องค์ประกอบความถี่ซับ harmonic อนิก ( $f_0/2$ ), องค์ประกอบความถี่ harmonic อนิกที่สอง ( $2f_0$ ) และองค์ประกอบความถี่อัลตราซาวด์อนิก ( $3f_0/2$ ) ซึ่งแตกต่างจากสัญญาณสะท้อนบริเวณเนื้อเยื่อประกอบด้วยองค์ประกอบความถี่มูลฐาน ( $f_0$ ) และองค์ประกอบความถี่ harmonic อนิกที่สอง ( $2f_0$ ) องค์ประกอบอัลตราซาวด์อนิกเป็นหนึ่งความถี่ที่มีศักยภาพสำหรับปรับปรุงคุณภาพของภาพอัลตราชาวด์ ด้วยข้อดีคือการกำเนิดเฉพาะในบริเวณที่มีสารและมีความถี่สูง ซึ่งผลดีทั้งนี้ทำให้สามารถเพิ่มอัตราส่วนของสารต่อเนื้อเยื่อ (Contrast-to-tissue ratio: CTR) เนื่องจากกำเนิดเฉพาะในบริเวณที่มีสาร และให้ภาพที่มีความละเอียดสูงเนื่องจากความถี่สะท้อนกลับสูง การปรับปรุงคุณภาพของภาพอัลตราชาวด์ยังมีอีกหนึ่งปัจจัยที่สำคัญนั้นคือเทคนิคการประมวลสัญญาณในการแยกองค์ประกอบความถี่ ตัวกรองโวเลเทอร์มีประสิทธิภาพที่ดีและมีการศึกษาประยุกต์แล้วกับการแยกองค์ประกอบ harmonic อนิกที่สองและองค์ประกอบซับ harmonic อนิก งานวิจัยนี้ได้เลือกข้อดีทั้งสองปัจจัยนั้นคือองค์ประกอบความถี่อัลตราซาวด์อนิก ( $3f_0/2$ ) และการใช้ตัวกรองโวเลเทอร์สำหรับการปรับปรุงคุณภาพของภาพอัลตราชาวด์

การใช้ประยุกต์ใช้แบบจำลองโวเลเทอร์สำหรับการแยกองค์ประกอบอัลตราซาวด์อนิกจะต้องทำการสร้างตัวแบบก่อนเป็นอันดับแรก นั้นคือจะต้องหาค่าเอกลักษณ์ของระบบ อย่างไรก็ตามด้วยคุณสมบัติโดยทั่วไปของแบบจำลองโวเลเทอร์ไม่สามารถใช้สร้างตัวแบบองค์ประกอบอัลตราซาวด์อนิกได้ งานวิจัยนี้นำเสนอการใช้เทคนิคการกระตุนครึงความถี่ของสัญญาณอินพุทสำหรับการระบุค่าเอกลักษณ์ของแบบจำลองโวเลเทอร์ด้วยแบบจำลองอันดับที่สาม ผลการจำลองเทคนิคนี้สามารถระบุค่าเอกลักษณ์สำหรับการสร้างตัวแบบองค์ประกอบอัลตราซาวด์อนิกได้ การวิเคราะห์เพื่อหาความสามารถสำหรับประยุกต์ใช้ในการแยกองค์ประกอบอัลตราซาวด์อนิกโดยการหาผลตอบสนองเชิงความถี่ของค่าเอกลักษณ์ จากการออกแบบของระบบแบบจำลองโวเลราพบว่า



มหावิทยาลัยเทคโนโลยีราชมงคลธัญบุรี

เท้อมอันดับที่สามของแบบจำลองมีความสามารถในการสร้างตัวแบบองค์ประกอบอัลตราไฮมอนิก ดังนั้นการพิจารณาสำหรับการกรองความถี่จึงต้องพิจารณาในค่าเอกลักษณ์อันดับที่สามของแบบจำลอง จากการพิจารณาผลตอบสนองเชิงความถี่ของค่าเอกลักษณ์อันดับสาม พบร่วมกับการตอบสนองทั้งองค์ประกอบอัลตราไฮมอนิกและชับไฮมอนิก และจากการวิเคราะห์แบบแยกส่วนในฟังก์ชันถ่ายโอนของผลรวมของแบบจำลองอันดับสาม พบร่วมกับการตอบสนองทั้งสองความถี่นี้ เช่นเดียวกัน ซึ่งข้อดีของการใช้วิธีนี้ฟังก์ชันการถ่ายโอนนี้สามารถกำจัดองค์ประกอบความถี่มูลฐานได้อย่างไรก็ตามหากต้องการนำไปใช้สำหรับการกรองเฉพาะองค์ประกอบอัลตราไฮมอนิกจำเป็นต้องเพิ่มวิธีการกำจัดองค์ประกอบชับไฮมอนิกเพิ่มเติม

## 6.2 ข้อเสนอแนะ

6.2.1 ค่าเอกลักษณ์ที่ระบุได้ด้วยเทคนิคนี้สามารถสร้างตัวแบบองค์ประกอบ อัลตราไฮมอนิกได้ด้วยค่าเอกลักษณ์อันดับที่สาม แต่การประยุกต์ใช้สำหรับแยกองค์ประกอบอัลตราไฮมอนิกจำเป็นต้องใช้ตัวกรองอีกรั้งสำหรับกำจัดองค์ประกอบชับไฮมอนิก

6.2.2 ในงานวิจัยนี้จะเป็นการศึกษาผลด้วยการจำลองผลด้วยคอมพิวเตอร์และใช้สัญญาณสะท้อนคลื่นสัญญาณเพียง 1 เส้น ในการพิสูจน์ด้วยเทคนิคนี้ด้วยภาพอัลตราชาวด์ อาจสร้างภาพอัลตราชาวด์ด้วยการใช้วิธีการจำลองแบบสร้างภาพสะท้อนคลื่นอัลตราชาวด์



## បរវាណ្យកម្ម

- [1] F. Forsberg D. A. Merton, J. B. Liu, L. Needleman and B. B. Goldberg, "Clinical applications of ultrasound contrast agents," *Ultrasonics*, vol. 36, pp. 695-701, 1998.
- [2] V. Sboros, "Response of contrast agents to ultrasound," *Adv. Drug Deliv. Rev.*, vol. 60, pp. 1117-1136, 2008.
- [3] M. A. Averkiou, "Tissue harmonic imaging," in *Proc. IEEE Ultrason. Symp.*, 2000, vol. 2, pp. 1563-1572.
- [4] D. Cosgrove, "Ultrasound contrast agent: An overview," *Eur. J. Radial.*, vol. 60, pp. 324-330, 2006.
- [5] C. Kollmann, "New sonographic techniques for harmonic imaging", *Eur. J. Radial.*, vol. 64, pp. 164-172, 2007.
- [6] P. Phukpattaranont and E. S. Ebbini, "Postbeamforming second-order Volterra filter for pulse echo ultrasonic imaging," *IEEE Trans. Ultrason., Ferroelect., Freq. Contr.*, vol. 50, no. 8, pp. 987-1001, 2003.
- [7] C. Samakee and P. Phukpattaranont, "Volterra frequency response functions analysis of subharmonic oscillation from bubble," *IJABME*, vol. 6, no. 1, pp. 17-25, 2013.
- [8] R. Basude and M. A. Wheatley, "Generation of ultraharmonics in surfactant based ultrasound contrast agents: use and advantages," *Ultrasonics*, vol. 39, pp. 437-444, 2001.
- [9] P. L. M. J. van Neer, G. Matte, M. G. Danilouchkine, C. Prins, F. van den Adel and N. de Jong, "Super-harmonic imaging: development of an interleaved phased-array



KONGSLIGE  
TEKNISKE  
HØJSKOLE

transducer," *IEEE Trans. Ultrason., Ferroelect., Freq. Control*, vol. 57, no. 8, pp. 455-468, Feb. 2010.

[10] O. M. Boaghe and S. Billings, "Subharmonic oscillation modeling and MISO Volterra series," *IEEE Trans. Circ. Syst. Fund. Theor. Appl.*, vol. 50, no. 7, pp. 877-884, July 2003.

[11] C. C. Church, "The effects of an elastic solid surface layer on the radial pulsations of gas bubbles," *J. Acoust. Soc. Amer.*, vol. 97, pp. 1510-1521, Mar. 1995.

[12] G. Yan-Jun, Z. Dong and G. Xiu-Fem, "The viscoelasticity of lipid shell and the hysteresis of subharmonic in liquid containing microbubbles," *Chinese Physics*, vol. 15, pp. 1526-1531, 2006.

[13] D. Zhang, Y. Gong, Z. Liu, K. Tan and H. Zheng, "Enhancement of subharmonic emission from encapsulated microbubbles by using a chirp excitation technique," *Phys. Med. Biol.*, vol. 52, pp. 5531-5544, 2007.

[14] K. E. Morgan, J. S. Allen, P. A. Dayton, J. E. Chomas A. L., Klibanov and K. W. Ferrara, "Experimental and theoretical evaluation of microbubble behavior: effect of transmitted phase and bubble Size," *IEEE Trans. Ultrason., Ferroelect., Freq. Contr.*, vol. 47, no. 6, pp. 1494-1509, 2000.

[15] W.J. Rugh, Nonlinear System Theory: The Volterra Wiener Approach Johns Hopkins University Press, 1981.

[16] C. Samakee and P. Phukpattaranont, "Application of MISO Volterra series for modeling subharmonic of ultrasound contrast agent," *IJCEE*, vol. 4, no. 4, pp. 445-451, 2012.



- [17] C. Samakee, "Investigating ultrasound modeling from ultrasound echo signal SISO Volterra filter," in *Proc. 8th Conf. on Knowledge and Smart Technology (KST-ICON)*, Chiangmai, Thailand, 2016, pp. 142-145.
- [18] M. Schetzen, "The Volterra and Wiener Theories of Nonlinear Systems," *New York: Wiley*, 1980, pp. 1-3.
- [19] C. Samakee and S. Pasuk, "Frequency domain identification of Volterra model for separating ultraharmonic using the technique of half-frequency of the input signal," *KKU Engineering Journal*, vol. 43(S1), pp. 60-63, 2016.



ภาคผนวก







ภาคผนวก ก. บทความที่เผยแพร่



บทความที่นำเสนอใน  
2016-8<sup>th</sup> International Conference on Knowledge and Smart  
Technology (KST) “Technology for Lift” February 3-6, 2016 @ Kantary  
Hill Hotel, Chiangmai, Thailand



2016 – 8<sup>th</sup> International Conference on Knowledge and Smart Technology (KST)

***“Technology for Life”***

February 3-6, 2016. @Kantary Hills Hotel, Chiangmai, Thailand





# Investigating Ultraharmonic Modeling from Ultrasound Echo Signal with SISO Volterra Filter

Chinda Samakee

Telecommunication Engineering Program, Faculty of Engineering,  
Rajamangala University of Technology Srivijaya,

Songkhla, Thailand.

Email: chindasamakee@hotmail.com

**Abstract**—In general, a single-input-single-output (SISO) Volterra series cannot be used for modeling component of ultraharmonic frequency from ultrasound echo signal. In this paper we present a new method for modeling the ultraharmonic component based on a SISO Volterra filter with exciting input signal at half-fundamental frequency. Results from the approach of the SISO Volterra show capability for successful modeling of the ultraharmonic. We have investigated the accuracy of predicting the ultrasound echo signal under different noise levels. In addition, the SISO Volterra can be still modeled subharmonic frequency component. This is significant solution for separating the ultraharmonic only or adding both the sub- and ultraharmonic for contrast imaging by the system identification of the SISO Volterra filter.

**Keywords**—Ultraharmonic component; Ultrasound contrast agent; Ultrasound imaging; SISO Volterra filter

## I. INTRODUCTION

Due to ultrasound echo signal from blood region is less than tissue region, therefore in order to increase the scattering signals from the blood is by introducing ultrasound contrast agents (UCA) for use in medical ultrasound [1]-[2]. The echo signal from UCA in ultrasound can generate many frequencies, such as subharmonic, ultraharmonic and second-harmonic components. By improving the quality of ultrasound imaging in medical applications, it can be useful from these frequency components with signal processing techniques [3].

Ultrasound images from second-harmonic are used as primary standard in the past several years. Afterward, subharmonic images are presented as a good in increasing contrast-to-tissue ratio (CTR) compared with images using second-harmonic and fundamental components [4]. Recently, ultraharmonic component has been investigated the potential use for ultrasound imaging by research groups [5]-[6]. There are advantage issues of the ultraharmonic over the subharmonic as reported in [5], such as greater Doppler and image resolution. However, improving the CTR is not only used frequency components (subharmonic or ultraharmonic), but also should be as used with effective tools.

Previous technique in [7] to separate harmonic components for formulating ultrasound imaging, the single-input-single-output (SISO) Volterra filter has been used for second-harmonic images. Ultrasound images obtained from

the Volterra filter is high CTR compared with other techniques, such as pulse inversion (PI) and bandpass filter (BPF). With the good performance of the Volterra, we have interest for applying with ultraharmonic component. Nevertheless, as well known, the modeling capacity of SISO Volterra for the case of sub-frequency components (subharmonic and ultraharmonic) that it cannot be modeled.

To overcome this problem, the method of multiple-input-single-output (MISO) Volterra series was introduced [8]. This method was demonstrated with the echo signal of UCA as reported in [9]. However, it can be used only modeling, but it cannot be separated the sub-frequency by Volterra identifications [10]. From the problem, in this paper we present a new method based on the SISO Volterra filter is obtained identifications by exciting the input signal at half-fundamental frequency. The frequency response from a term of SISO Volterra filter model can be applied in separating the sub-frequency components for formulating and improving the CTR of ultrasound imaging.

## II. THEORY

### A. Ultrasound Echo Signal System

The ultrasound echo signal (UES) is resulting from the interaction ultrasound wave and UCA. Its nonlinear behavior can be represented by mathematical model. In this paper, a model for producing the ultrasound echo signal is the Church equation [11]. The Church model is able to predict echo signal from oscillations of a single UCA. For this model, in [12], it has been demonstrated by experimental compared with calculating the model, which show unidirectional results. In this paper, we use the Church model for simulating of nonlinear oscillations of single encapsulated bubble for the UES generation. The UES from single UCA in the acoustic pressure form can expressed as [13]

$$P_{UCA}(t) = \frac{\rho_L}{r} (R^2 R'' + 2R(R')^2) \quad (1)$$

where  $P_{UCA}(t)$  is the UES,  $\rho_L$  is density of water,  $r$  is a distance between the transmitter and the center of the UCA,  $R$  is the instantaneous radius of UCA, and  $R', R''$  are the first and second derivatives of instantaneous radius, respectively. The



มหาวิทยาลัยเทคโนโลยีราชมงคลธัญบุรี

สำนักงานคุณภาพการศึกษา

รายงานผลการดำเนินการตามเงื่อนไขของทุนสนับสนุน

ประจำปีงบประมาณ พ.ศ. ๒๕๖๔

ผู้จัดทำ: ดร. วิภาดา วงศ์สุวรรณ

วันที่: ๑๕ พฤษภาคม พ.ศ. ๒๕๖๕

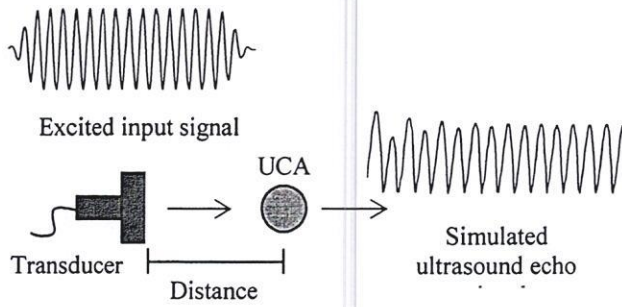


Fig. 1. The generation of a UES from simulation modeling UCA.

UES is obtained by a addition of Gaussian white noise.

In transmission and reception signals of the transducer resulting from the interaction of the ultrasound wave with an UCA, the UES is introduced to convolution with impulse response of ultrasound transducer. A diagram showing the generation of the UES is shown in Fig. 1.

#### B. SISO Volterra Filter Model System

Nonlinear ultrasound echo signal can be modeled by mathematical model of Volterra series. The equation of Volterra model is infinite sum of  $p$ -dimensional convolution of the input and Volterra kernel of  $p$ -th order. This paper will use the truncated third-order Volterra filter (TVF) in the modeling of ultrasound echo signal. The TVF can be written as: [14]

$$\begin{aligned} y(n) = & h_0 + \sum_{k_1=0}^{N-1} h_1(k_1)x(n-k_1) \\ & + \sum_{k_1=0}^{N-1} \sum_{k_2=0}^{N-1} h_2(k_1, k_2)x(n-k_1)x(n-k_2) \\ & + \sum_{k_1=0}^{N-1} \sum_{k_2=0}^{N-1} \sum_{k_3=0}^{N-1} h_3(k_1, k_2, k_3)x(n-k_1)x(n-k_2)x(n-k_3) \quad (2) \end{aligned}$$

where  $x(n)$  and  $y(n)$  are input and output signals, respectively.  $h_0, h_1(k_1), h_2(k_1, k_2)$  and  $h_3(k_1, k_2, k_3)$  are the bias, linear, quadratic and cubic Volterra filter coefficients. These coefficients are unknown, and  $N$  is the filter length size. The output frequency response of the time domain system in (2) can be expressed by

$$Y(f) = \sum_{n=0}^{M-1} y(n)e^{-j2\pi kn/M} \quad (3)$$

where  $Y(f)$  is Fourier transform of  $y(n)$ ,  $M$  is the length of input sequence and  $k = 0, 1, \dots, M-1$ .

#### C. Ultraharmonic Modeling with SISO Volterra Filter Model

As known that modeling in general with SISO Volterra series cannot be modeled to sub-frequency components. Although, O.M. Boaghe and S. Billings [8] present the method

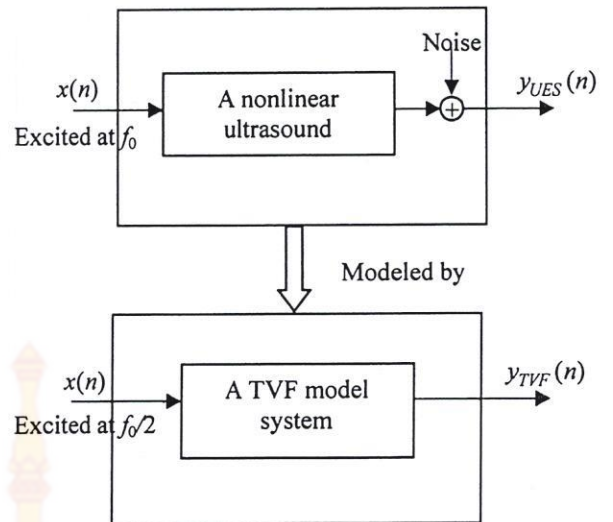


Fig. 2. Modeling of a ultrasound echo signal using a TVF model

for overcoming this problem by using MISO Volterra model, however its frequency responses in kernels are multi-frequency. This is weakness to apply filtering. In this section, we present a method of modeling of UES behavior by the SISO TVF model. The method is by exciting a single tone input at half-fundamental frequency. The block diagram of generating (upper) and modeling (lower) the UES are shown in Fig. 2.

### III. MATERIALS AND METHODS

This section we present details of simulating and modeling the UES. The details are numerical conditions based systems theory described in Section II.

#### A. Simulation

In simulating the USE generation, The Church we used to estimate UCA motion as described in Section II-A. For the physical parameters values of a UCA, we use the values as follows in (12). The excitation input to UCA is sinusoidal wave of frequency  $f_0 = 5$  MHz, 1 MPa pressure, and 16 cycles. The distance from the scattered pressure to the center of UCA is 6 cm. The impulse response of the transducer in the transmission and reception is Gaussian-modulated sinusoidal pulse with fraction bandwidth 60% of center frequency 5 MHz. The frequency sampling is 100 MHz.

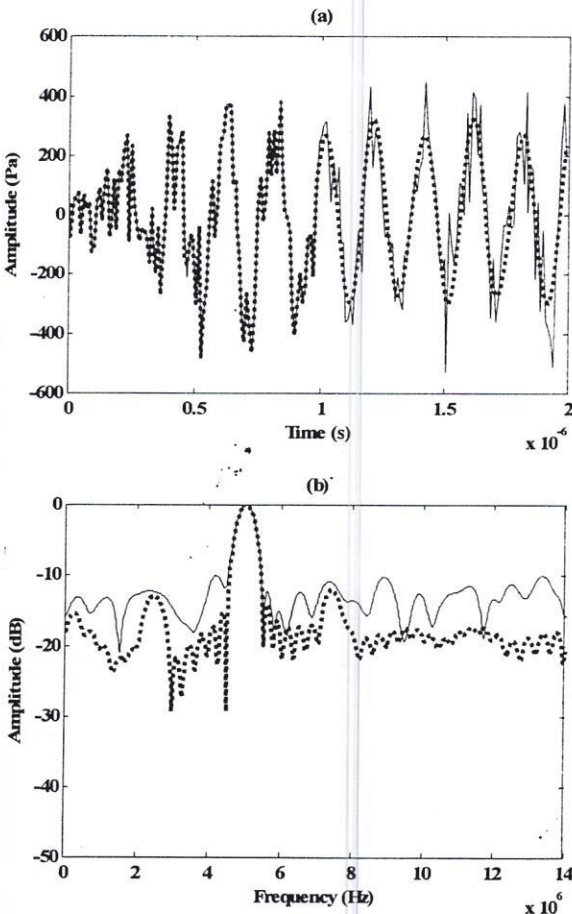
#### B. Modeling

To solve the Volterra filter coefficients in (2), it can be written in matrix form:

$$\mathbf{y} = \mathbf{x}^T(n)\mathbf{h} \quad (4)$$

where the vector  $\mathbf{y}$ ,  $\mathbf{x}$ , and  $\mathbf{h}$  are the TVF model output signal, the excitation input signal, and the filter coefficients, respectively, which vector  $\mathbf{y}$  is defined as:





4. Models result of the UES (solid) and the TVF (dotted) at the SNR of B. The filter length is  $N = 40$ . (a) Time domain. (b) Frequency domain.

TABLE I. COMPARISON OF THE NMSE VALUES AT VARIOUS NOISE LEVELS BY THE TVF MODEL

SNR (dB)	NMSE (dB) by the TVF
50	-18.91
40	-18.35
30	-15.66
20	-11.15
10	-6.34
5	-4.34

Table 1 shows comparison of the NMSE values of the F modeled with the UES original at different noise levels. see that the difference between the NMSE and the noise levels, which effect in the predicting of the TVF. For the noise level standard, it is in agreement with the SNR of 50 dB. In present study, we show affecting noise values are 50, 40, 20, 10, and 5 dB with the SISO TVF system. The minimum and maximum of noise levels are ranged between -91 to -4.38 dB.

## V. CONCLUSION

In this paper, we have presented the SISO TVF to model frequency components from ultrasound echo signal. The

method in the modeling is using input signal excitation at half-frequency fundamental. The primary goal of this study is focus on modeling the ultraharmonic component. The experimental results showed that the SISO TVF can be modeled the ultraharmonic. Nevertheless, it can still be modeled of the subharmonic component.

In the present paper, The results of the SISO TVF model could be applied to separate the ultraharmonic component only for contrast imaging. Additionally, it has been extended to sub- and ultraharmonic components to improve the CTR as an alternative imaging. This issue will be investigated and reported in the future.

## ACKNOWLEDGMENT

This research project is supported by Rajamangala University of Technology Srivijaya.

## REFERENCES

- [1] H. Becher, P.N. Burns, *Handbook of Contrast Echocardiography: Left Ventricular function and Myocardial Perfusion*, Springer Verlag, New York, 2000.
- [2] N. de Jong, P.J.A. Frinking, A. Bouakaz and F.J. Ten Cate, "Detection procedures of ultrasound contrast agents," *Ultrasonics*, vol. 38, pp. 87-92, 2000.
- [3] C. Kollmann, "New sonographic techniques for harmonic imaging", *Eur. J. Radial.*, vol. 64, pp. 164-172, 2007.
- [4] F. Forsberg, W.T. Shi and B.B. Goldberg, "Subharmonic imaging of contrast agents," *Ultrasonics*, vol. 38, pp. 93-98, 2000.
- [5] R. Basude and M.A. Wheatley "Generation of ultraharmonic in surfactant based ultrasound contrast agents: use and advantage," *Ultrasonics*, vol. 39, pp. 437-444, 2001.
- [6] Q. Ma, D. Zhang, X. Gong, and Y. Ma, "Investigation of superharmonic sound propagation and imaging in biological tissues in-vitro," *J. Acoust. Soc. Am.* vol. 119, pp. 2518-2523, 2006.
- [7] P. Phukpattaranont and E.S. Ebbini, "Post beamforming second-order Volterra filter for pulse echo ultrasonic imaging," *IEEE Trans. Ultrason., Ferroelect., Freq. Contr.*, vol. 50, no. 8, pp. 987-1001, 2003.
- [8] O.M. Boaghe and S. Billings, "Subharmonic oscillation modeling and MISO Volterra series," *IEEE Trans. Circ. Syst. Fund. Theor. Appl.*, vol. 50, no. 7, pp. 877-884, July 2003.
- [9] C. Samakee and P. Phukpattaranont, "Application of MISO Volterra series for modeling subharmonic of ultrasound contrast agent," *IJCEE*, vol. 4, no. 4, pp. 445-451, August 2012.
- [10] C. Samakee and P. Phukpattaranont, "Volterra frequency response functions analysis of subharmonic oscillation from bubble," *IJABME*, vol. 6, no. 1, pp. 17-25, 2013.
- [11] C. Church, "The effects of an elastic solid surface layer on the radial pulsations of gas bubbles," *J. Acoust. Soc. Am.*, vol. 91, pp. 1510-1521, 1995.
- [12] G. Yan-Jun, Z. Dong, G. Xiu-Fen, T. Kai-Bin and L. Zheng, "The viscoelasticity of lipid shell and the hysteresis of subharmonic in liquid containing microbubbles," *Chin. Phys. Soc.*, vol. 15, no. 7, pp. 1526-1531, July 2006.
- [13] K.E. Morgan, J.S. Allen, P.A. Dayton, J.E. Chomas, A.L. Klibanov and K.W. Ferrara, "Experimental and theoretical evaluation of microbubble behavior: effect of transmitted phase and bubble Size," *IEEE Trans. Ultrason., Ferroelect., Freq. Contr.*, vol. 47, no. 6, pp. 1494-1509, 2000.
- [14] W.J. Rugh, *Nonlinear System Theory: The Volterra Wiener Approach*, Johns Hopkins University Press, 1981.



$$\mathbf{y} = [y(0), y(1), y(2), \dots, y(M-1)]^T, \quad (5)$$

and the vector  $\mathbf{x}$  is defined as:

$$\begin{aligned} \mathbf{x}(n) = & [1, x(n), x(n-1), x(n-2), \dots, x(n-N+1), \\ & x^2(n), x(n)x(n-1), \dots, x^2(n-N-1), \\ & x^3(n), x(n)x(n-1), \dots, x^3(n-N-1)]^T, \end{aligned} \quad (6)$$

and the filter coefficients vector as:

$$\begin{aligned} \mathbf{h} = & [h_0, h_1(0), h_1(1), h_1(2), \dots, h_1(N-1), \\ & h_2(0,0), h_2(0,1), \dots, h_2(N-1, N-1), \\ & h_3(0,0,0), h_3(0,0,1), \dots, h_3(N-1, N-1, N-1)]^T \end{aligned} \quad (7)$$

here  $N$  is the total number of filter coefficients length. For the input signal used in modeling, the exciting frequency will be applied is single tone at  $f_0/2$  (2.5 MHz). And then, the filter coefficients can be given by

$$\mathbf{h} = \mathbf{X}^\dagger \mathbf{y} \quad (8)$$

here the matrix  $\mathbf{X}$  is defined as:

$$\mathbf{X} = [\mathbf{x}(0), \mathbf{x}(1), \mathbf{x}(2), \dots, \mathbf{x}(M-1)]^T. \quad (9)$$

The notation  $\mathbf{X}^\dagger$  form is generalized inverse.

#### Measurement Step

In order to demonstrate the accuracy of the TVF in (2), we add different levels of Gaussian white noise to the UES. The signal to noise ratio (SNR) of adding noise is 50, 40, 30, 20, 10, and 5 dB. The effects on accuracy are a measure of the TVF model strength relative to background noise. The UES in estimating consists of 379 data points. We measure the accuracy estimations of the TVF in terms of normalized mean square error (NMSE) of total, which are given by

$$\text{NMSE}_T = \left( \frac{\|y_{TVF}(n) - y_{UES}(n)\|^2}{\|y_{UES}(n)\|^2} \right) \quad (10)$$

where  $y_{TVF}(n)$  and  $y_{UES}(n)$  are third-order Volterra output in and ultrasound echo signal output in (1), respectively.

#### IV. RESULTS AND DISCUSSION

Fig. 3 shows comparing results of two methods (a UES and TVF) obtained from simulating and modeling at the SNR 50 dB in (1) and (2), respectively. The filter length  $N = 40$  has been used for the TVF coefficient to calculate in (7). The UES and the TVF, respectively, using the solid and the dotted

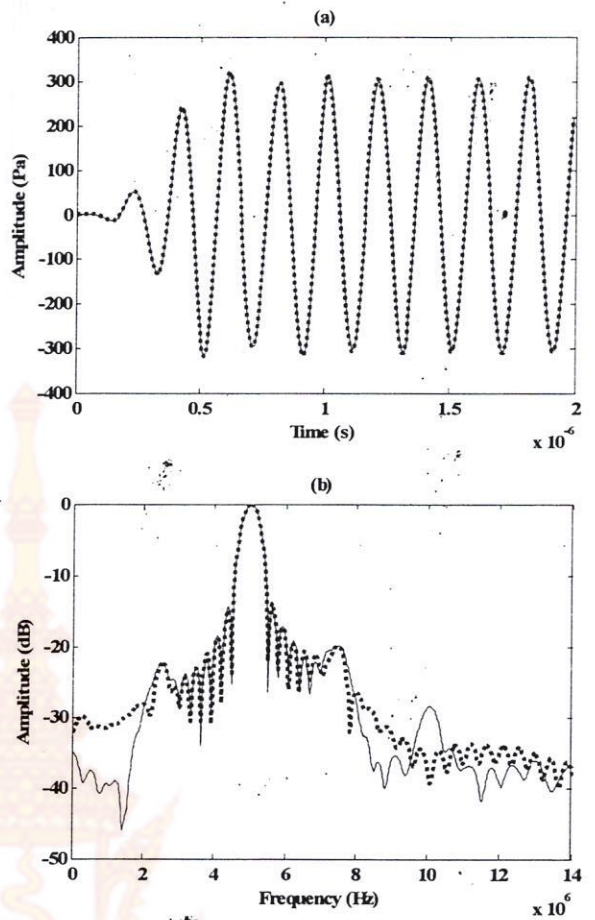


Fig. 3. Models result of the UES (solid) and the TVF (dotted) at the SNR of 50 dB. The filter length is  $N = 40$ . (a) Time domain. (b) Frequency domain.

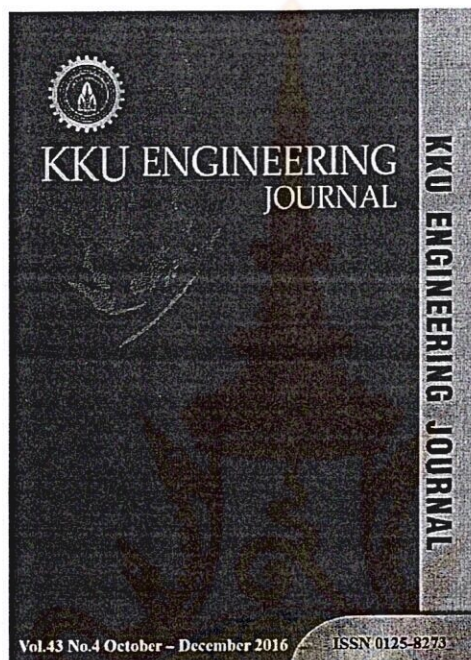
lines, are depicted in Fig. 3. In the Fig. 3(a), It shows echoes result from scattered acoustic pressure in time domain. Fig. 3(b) shows the echoes result in frequency domain. The subharmonic ( $f_0/2$ ), the fundamental ( $f_0$ ) and the ultraharmonic ( $3f_0/2$ ) components are clearly observed at 2.5 MHz, 5 MHz and 7.5 MHz, respectively. It can seen that the TVF has been accurately predicted the fundamental frequency component band. There are also the low sub-frequency band components of the subharmonic and ultraharmonic. This is advantage in using the TVF for fixed frequency separation. In this experiment, the NMSE value was -18.91 dB.

Fig. 4 shows the predicted result of the TVF when the signal quality is low at the SNR of 5 dB. The filter length is similar to the TVF model at 50 dB SNR. Fig. 4(a) shows in time domain of a UES and TVF. The approach of the TVF in the Fig. 4(a) can predict accurately, especially where wide the ranges of time are  $0 \leq t \leq 1 \mu s$ . Fig. 4(b) shows the results of the UES and The TVF in frequency domain. Predicting the behavior of the UES with the TVF is a good estimation. It can be embedded in sub-frequency components, such as subharmonic and ultraharmonic. This approach is in order to show that the TVF has been capable of robust resistance to white Gaussian noise, which is advantages over the conventional techniques. For in this experiment, the NMSE value was -4.38 dB.



บทความที่ตีพิมพ์ใน

KKU Engineering Journal 2016; 43(S1): 60-63







## Frequency domain identification of volterra model for separating ultraharmonic using the technique of half-frequency of the input signal

Chinda Samakee\* and Sunya Pasuk

Telecommunication Engineering Program, Department of Electrical Engineering, Faculty of Engineering, Rajamangala University of Technology Srivijaya, Songkhla, 90000, Thailand.

Received April 2016  
Accepted June 2016

### Abstract

This paper presents a method for the identification of ultraharmonic component with Volterra kernels from a simulated ultrasound echo signal. Due to the fact that using a Volterra series cannot respond to the ultraharmonic component, the purpose of the paper is to develop the identification method for the ultraharmonic using the excitation technique of half-frequency of the input signal. In addition, the model can still be held at subharmonic component. Finally the identifications of Volterra system were studied in frequency domain. Application of this method is to separate only the ultraharmonic component or ultra-subharmonic components for improving contrast-to-tissue ratio (CTR) of ultrasound imaging.

**Keywords:** Volterra filter, Nonlinear ultrasound signal, Ultraharmonic imaging

### 1. Introduction

Studies in the issue of ultrasound contrast agents (UCAs) have reported of several investigators on the clinical applications as described in [1-2]. Ultrasound echoes from UCAs include multiple frequency components at fundamental ( $f_0$ ), subharmonic ( $f_0/2$ ), second harmonic ( $2f_0$ ), and ultraharmonic ( $3f_0/2$ ) [3]. Advancements in ultrasound imaging based on contrast agents have been increased in the specificity and sensitivity of diagnostic. Improving image quality in ultrasound is using harmonic components to create an image. However, image contrast enhancement must have good performance of the tools used for separating the harmonic, which is measured by contrast-to-tissue ratio (CTR) [4].

Second harmonic imaging (HI) has been used for many years. However from generating the second harmonic in tissue surrounding, it suffers reduced CTR. Subharmonic imaging (SHI) has been investigated for use owing to the lack of generation in tissue. SHI should have a better CTR due to its higher exciting frequency [5]. Recently, these have been interest in the potential of using ultraharmonic for imaging. In [6-7], they have been reported, including the generating frequency of contrast, use, advantages and a transducer design for ultraharmonic imaging (UHI). UHI possesses over HI and SHI, such as greater Doppler and image resolution. However, it has been hampered by lower signal-to-noise ratio issues.

To create harmonic images using signal processing tools, from the literature review, they consist of three strategies: bandpass filter (BPF), pulse inversion (PI) and Volterra filter (VF). In [8], it has been demonstrated by HI that the VF is

better than PI and BPF in terms of CTR. In this paper, we are interested in the capability of the VF for use with ultraharmonic. However for in this case, the VF cannot be modeled. In our previous study of modeled by [9-10], multiple input signal output (MISO) Volterra series was introduced to overcome this problem. This method is success that can be predicted, but cannot be used for filtering frequency components.

Nevertheless identification techniques based on single input signal output (SISO) VF need to identify for the solution from this problem. In order to improve the CTR using the ultraharmonic and VF, the purpose of this paper is to develop an estimation method of the VF identification using the excitation technique of half-frequency of the input signal. The Volterra system resulted in [10] was extended in this study. The results obtained the identification VF in terms of first-, second-, and third-order are analyzed in frequency domain on the issue of separating the ultraharmonic.

### 2. Materials and methods

#### 2.1 Ultrasound echo signal

In this section, the ultrasound echo signal (UES) from nonlinear bubble oscillations is described. UCAs consist of small gas bubbles that are injected into the blood flow to enhance the ultrasound signals from vessels. There are several models on presenting bubble behavior [11]. However for generating of ultraharmonic, the UES can be generated by Church model [12]. Previous paper has reported on the UES simulated from the Church equation, as detailed in [10]. In this paper, we have used by the Church equation. A UES

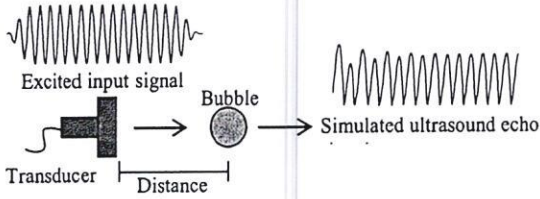
\*Corresponding author.

Email address: chindasamakee@hotmail.com

doi: 10.14456/kkuenj.2016.70



of nonlinear bubble system obtained from simulation as displayed in Figure 1.



**Figure 1** A nonlinear ultrasound echo system using Church model

## 2.2 SISO volterra system

A single input-single output (SISO) Volterra series is representation for a nonlinear system. The equation of relationship between input and output a discrete-time SISO Volterra series can be written in the form [13]

$$\begin{aligned} y(t) = & h_0 + \int_{-\infty}^{\infty} h_1(\tau_1) x(t - \tau_1) d\tau_1 + \int_{-\infty}^{\infty} \int_{-\infty}^{\infty} h_2(\tau_1, \tau_2) x(t - \tau_1) u(t - \tau_2) d\tau_1 d\tau_2 + \dots \\ & + \int_{-\infty}^{\infty} \int_{-\infty}^{\infty} \dots \int_{-\infty}^{\infty} h_k(\tau_1, \tau_2, \dots, \tau_k) x(t - \tau_1) x(t - \tau_2) \dots x(t - \tau_k) d\tau_1 d\tau_2 \dots d\tau_k \end{aligned} \quad (1)$$

where  $x(t)$  represents the dynamic of input signal and  $y(t)$  represents the system response or output signal. The sum of the convolution integrals contains a kernel or identification,  $h_k(\tau_1, \tau_2, \dots, \tau_k)$ , which represents the impulse response of the  $k$ th-order systems.

A general class by SISO system, the frequency responses are giving higher multiple harmonic ( $2f_0$ ,  $3f_0$ , ..., etc.), when the input excitation is single tone frequency ( $f_0$ ). However, assumption-based modeling in the case of ultraharmonic, the SISO system is by applying the excitation of half-frequency of the input signal ( $f_0/2$ ). Thus, the system responses are adaptation at sub-frequency ( $f_0/2$ ,  $3f_0/2$ , ..., etc.). In order to obtain the ultraharmonic at  $3f_0/2$ , using equation (1) for this work is the truncated third-order Volterra filter (TVF). The relation of the input  $x(n)$ -output  $y(n)$  of system when the Volterra identifications have a finite memory length  $N$ , which is represented by

$$\begin{aligned} y(n) = & h_0 + \sum_{k_1=0}^{N-1} h_1(k_1) x(n - k_1) + \sum_{k_1=0}^{N-1} \sum_{k_2=0}^{N-1} h_2(k_1, k_2) x(n - k_1) x(n - k_2) \\ & + \sum_{k_1=0}^{N-1} \sum_{k_2=0}^{N-1} \sum_{k_3=0}^{N-1} h_3(k_1, k_2, k_3) x(n - k_1) x(n - k_2) x(n - k_3) \end{aligned} \quad (2)$$

where  $h_0, h_1(k_1), h_2(k_1, k_2)$  and  $h_3(k_1, k_2, k_3)$  are the bias, linear, quadratic and cubic discrete Volterra identifications, respectively. The frequency domain response of the TVF system can be calculated by discrete Fourier transform (DFT) of equation (2).

$$\begin{aligned} \mathbf{Y}(m) = & \mathbf{H}_0 + \mathbf{H}_1(m)\mathbf{X}(m) + \mathbf{H}_2(m_1, m_2)\mathbf{X}(m_1)\mathbf{X}(m_2) \\ & + \mathbf{H}_3(m_1, m_2, m_3)\mathbf{X}(m_1)\mathbf{X}(m_2)\mathbf{X}(m_3) \end{aligned} \quad (3)$$

where  $\mathbf{X}(m)$  and  $\mathbf{Y}(m)$  represent the number of  $N$  point DFTs of  $x(n)$  and  $y(n)$ , respectively; likewise  $\mathbf{H}_0, \mathbf{H}_1(m), \mathbf{H}_2(m)$  and  $\mathbf{H}_3(m)$  represent  $h_0, h_1(k_1), h_2(k_1, k_2)$  and  $h_3(k_1, k_2, k_3)$ , respectively. Here, those of  $\mathbf{H}_1(m), \mathbf{H}_2(m)$  and  $\mathbf{H}_3(m)$  are called Volterra frequency responses (VFR) of linear, quadratic and cubic terms, respectively.

## 2.3 Identification algorithm

In this section, we describe a method on TVF identification of the sub-frequency by exciting of half-frequency of the input signal. The diagram of system identification is as shown in Figure 2. In order to estimate identification of the TVF model, the equation (2) can be written in the form of linear algebra equation. Let  $y(n)$  denote output vector  $y$ ,  $x(n-k_i)$  denote input matrix  $\mathbf{X}$ , and let  $h_i(k_1, k_2, \dots, k_i)$  denote  $\mathbf{h}$ , therefore the linear algebra equation is written as

$$\mathbf{y} = \mathbf{X}\mathbf{h} \quad (4)$$

where

$$\mathbf{y} = \begin{bmatrix} y(0) \\ y(1) \\ y(2) \\ \vdots \\ y(n) \end{bmatrix}$$

$$\mathbf{X} = \begin{bmatrix} 1 & x(0) & x(-1) & \cdots & x'(n-M+1) \\ 1 & x(1) & x(0) & \cdots & x'(n-M+2) \\ 1 & x(2) & x(1) & \cdots & x'(n-M+3) \\ \vdots & \vdots & \vdots & \ddots & \vdots \\ 1 & x(n) & x(n-1) & \cdots & x'(n-M+L) \end{bmatrix}$$

$$\mathbf{h} = \begin{bmatrix} h_0 \\ h_1(0) \\ h_1(1) \\ \vdots \\ h_1(M-1, \dots, M-1) \end{bmatrix}$$

and  $L$  is input sequence length,  $M$  is memory length, and  $i$  is  $ith$ -order Volterra identifications which the order is 3.

Reformulating equation (4) into finding Volterra identification to solve that the equation (4) can be expressed as

$$\mathbf{h} = \mathbf{X}^\dagger \mathbf{y} \quad (5)$$

where  $\mathbf{X}^\dagger$  is generalized inverse which is defined by performing of the singular value decomposition (SVD) method. Expanding equation (5) gives

$$\mathbf{X}^\dagger = (\mathbf{U}\mathbf{S}\mathbf{V}^T)^\dagger = \sum_{i=1}^r \sigma_i \mathbf{u}_i \mathbf{v}_i^T \quad (6)$$

Then, the identification gives

$$\mathbf{h} = (\mathbf{U}\mathbf{S}\mathbf{V}^T)^\dagger \mathbf{y} = \sum_{i=1}^r \mathbf{v}_i \frac{1}{\sigma_i} \mathbf{u}_i^T \mathbf{y} \quad (7)$$



where  $S$  is a  $M \times N$  diagonal matrix with singular values sorted in descending order  $\sigma_1 \geq \sigma_2 \geq \sigma_3 \dots \geq \sigma_r \geq 0$  ( $r = \min\{M, N\}$ ).  $U(M \times M)$  and  $V(N \times N)$  are unitary matrices, which  $U = (u_1, \dots, u_M)$  and  $V = (v_1, \dots, v_N)$  are orthonormal columns.

The VFR of identifications  $h_i(k_1, k_2, \dots, k_i)$  can be obtained by the DFT, which can be written as

$$H_i(f_1, \dots, f_i) = \sum_{k_1=0}^{M-1} \dots \sum_{k_i=0}^{M-1} h_i(k_1, k_2, \dots, k_i) \times e^{-j(\frac{2\pi}{M}k_1f_1 + \dots + j\frac{2\pi}{M}k_if_i)}$$

(8)

where  $p = 0, 1, \dots, N-1$ .

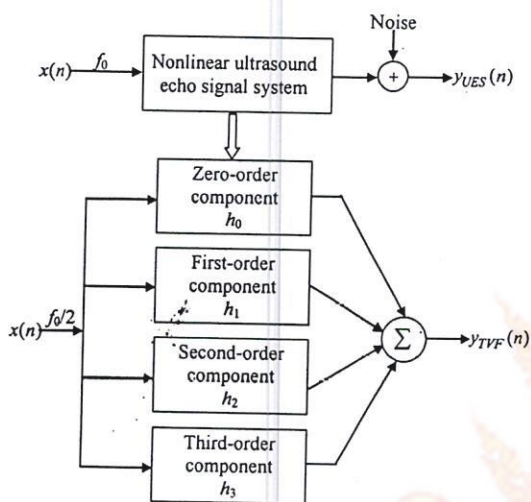


Figure 2 Identification of the UES using the TVF model

### 3. Results

For in this study, the excitation input signal of the UES simulation is sinusoidal wave at a frequency ( $f_0$ ) of 5 MHz with 1 MPa sound pressure, containing 16 cycles. The UES is added with Gaussian white noise, which signal-to-noise ratio (SNR) of the use is 50 dB. The reception response of transducer is Gaussian - modulated sinusoidal pulse with fraction bandwidth 60% of center frequency 5 MHz. The frequency sampling is 100 MHz. Figure 3 shows the system response of simulating and modeling of the UES and the TVF, respectively. The church model is excited with  $f_0 = 5$  MHz obtaining that the UES consists of fundamental ( $f_0 = 5$  MHz), subharmonic ( $f_0/2 = 2.5$  MHz), ultraharmonic ( $3f_0/2 = 7.5$  MHz) and second-harmonic ( $2f_0 = 10$  MHz) components.

For the modeling of the UES with the TVF model, using the excitation technique of half-frequency of the input signal can successfully to model sub-frequency. The filter length  $N$  is 22. As shown in Figure 3, the predicted result of the TVF in frequency domain is fundamental ( $f_0 = 5$  MHz), subharmonic ( $f_0/2 = 2.5$  MHz), ultraharmonic ( $3f_0/2 = 7.5$  MHz). This is advantage of this technique, in which the generality of Volterra model cannot able to model.

The estimation of filter identification can be calculated by equation (7). Utilization of identification is investigating the frequency response property for filtering frequency. The DFTs of linear, quadratic and cubic terms can be calculated by the equation (8). The frequency response characteristics of these identifications are plotted in Figures 4-6. For

investigating in the performance for frequency filtering will be a discussion in section 4.

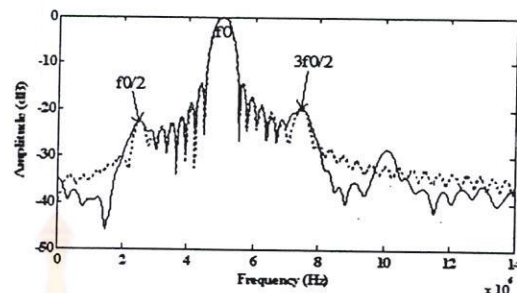


Figure 3 Results in frequency domain of simulating the UES (solid) and modeling the TVF (dotted). The SNR is 50 dB.

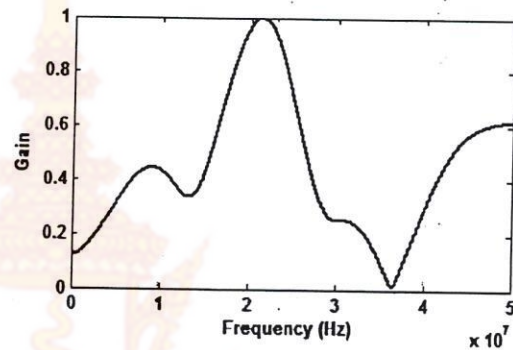


Figure 4 The VFR of linear filter identifications

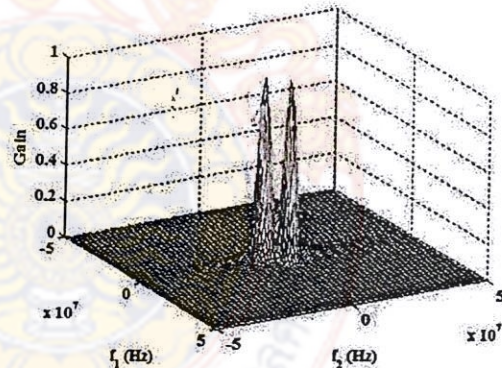


Figure 5 The VFR of quadratic filter identifications

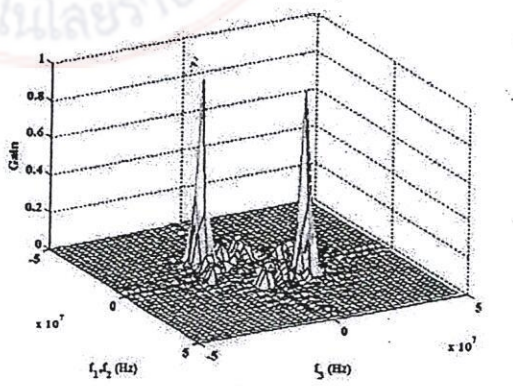


Figure 6 The VFR of cubic filter identifications



#### 4. Discussion

Figure 4 shows the frequency response of linear filter  $H_1$ . It can be seen that the peak gain is about 22 MHz. However, it has bandpass in some frequency. This result is from frequency translation of the input signal. Only consider of the frequency response  $H_1$  may be sufficient to produce, for this it should be demonstrated in the linear output of frequency response function (FRF). The FRF is relation of cross-identification and input transforms, which is investigation in response to input signals.

Figure 5 shows the response output of quadratic filter  $H_2$ . From Figure 5, it can be seen that gain is clearly strong on frequency of passband centered around (5, 5) and (-5, -5) MHz. This is capable of modeling in capture of the fundamental frequency (tissue echo) band. This  $H_2$  ensure a complete for removing the fundamental frequency from tissue echo, which helps improving the CTR.

The third-order model is in the associated frequency response for ultraharmonic, and results in Figure 6. The gain of cubic filter  $H_3$  response is the apparent frequency at around 7.5 MHz (ultraharmonic), and it is little frequency response at around 2.5 MHz (subharmonic). With these frequency responses, the capability of cubic filter can be used for separating the sub- and ultraharmonic components. However, advantage of summing both frequencies is higher CTR value. Therefore, the use of only ultraharmonic for imaging must add filter to remove subharmonic.

#### 5. Conclusions

This paper presents the method based on SISO Volterra model of identification nonlinear USE for separating ultraharmonic frequency component. To identify the component of ultraharmonic, we use the method based on third-order Volterra model with the excitation of half-frequency of the input signal. The method has been successfully modeled for the identification of ultraharmonic component. In this work we have been investigated the frequency response of the  $k$ th-order Volterra identifications for ultraharmonic filtering applications. The results of investigation that cubic term can give the response frequency to ultraharmonic component. This method is significant improvement over conventional linear filtering such as bandpass filter. The practical application of the method can improve CTR. However, in order to demonstrate its performance, we will more progress consider on cross-kernels with input signal, which this issue will be discussed in the future.

#### 6. Acknowledgements

We would to thank Professor Pornchai Phukpattaranont for his suggestions in this work. We also thank the Rajamangala University of Technology Srivijaya for financing this work.

#### 7. References

- [1] De Jong N. Improvements is ultrasound contrast agents. IEEE Engineering in Medicine and Biology 1996;November/December:72-82.
- [2] Ophir J, Parker KJ. Contrast agent in diagnostic ultrasound. Ultrasound in Medicine and Biology 1989; 4:319-333.
- [3] Kollmann C. New sonographic techniques for harmonic imaging. European Journal of Radiology 2007;64:164-172.
- [4] De Jong N, Bouakaz A, Ten Cate FJ. Contrast harmonic imaging. Ultrasonics 2002;40:567-573.
- [5] Forsberg F, Shi WT, Goldberg BB. Subharmonic imaging of contrast agents. Ultrasonics 2000;38:93-98.
- [6] Basude R, Wheatley MA. Generation of ultraharmonic in surfactant based ultrasound contrast agents: use and advantage. Ultrasonics 2001;39:437-444.
- [7] Van Neer PLMJ, Matte G, Danilouchkine MG, Prins C, Van Den Adel F, De Jong N. Super-harmonic imaging: development of an interleaved phased-array transducer. IEEE Transaction on Ultrasonics, Ferroelectrics, and Frequency Control 2010;57:455-468.
- [8] Phukpattaranont P, Ebbini ES. Post beamforming second-order Volterra filter for pulse echo ultrasonic imaging. IEEE Transactions on Ultrasonics, Ferroelectrics, Frequency Control 2003;50:987-1001.
- [9] Samakee C, Phukpattaranont P. Volterra frequency response functions analysis of subharmonic oscillation from bubble. The International Journal of Applied Biomedical Engineering 2013;6:17-25.
- [10] Samakee C. Investigating ultrasound modeling from ultrasound echo signal SISO Volterra filter. In: Rasmequan S, Hwan Lee S, Miller J, Joh M, editors. Technology for life. KST-iCON 2016: Proceedings of the 8th International Conference on Knowledge and Smart Technology; 2016 Feb 3-6; Chiangmai, Thailand. Thailand: IEEEXplore; 2016. p. 142-145.
- [11] Morgan KE, Allen JS, Dayton PA, Chomas JE, Klibanov AL, Ferrara KW. Experimental and theoretical evaluation of microbubble behavior: Effect of transmitted phase and bubble size. IEEE Transactions on Ultrasonics Ferroelectrics Frequency Control 2000;47:1494-1509.
- [12] Church C. The effects of an elastic solid surface layer on the radial pulsations of gas bubbles. The Journal of the Acoustical society of America 1995;91:1510-1521.
- [13] Boaghe OM, Billings S. Subharmonic oscillation modeling and MISO Volterra series. IEEE Transactions on Circuits and Systems 2003;50:877-884.



มหาวิทยาลัยเทคโนโลยีราชมงคลธัญบุรี



